Centro de Control Nacional de Nicaragua (CCN NI)

Paso de Frontera San Pancho (NI) – Las Tablillas (CR)

Proyección de Demanda y Dimensionamiento

Marzo 2016

Consultor: Ricardo Sicra¹

¹ Con la colaboración del Ing. Pablo Illarietti y del economista Alejandro Sicra.

ÍNDICE

1.	PROYECCIÓN DE LA DEMANDA	4
	1.1 Introducción	
	1.2.1 Flujo de carga	
	1.2.3 Resultados	
	1.2.4 Proyección de medios de transporte de cargas y pasajeros	19
2.	DIMENSIONAMIENTO DE LAS INSTALACIONES DE CONTROL	22
	2.1 Introducción	22
	2.2 AREAS FIJAS	23
	2.2.1 Área variable Cargas	
	2.2.1.1 Resultados obtenidos y adoptados	29
	2.2.1.2 Análisis de sensibilidad	30
	2.2.2 _, Dimensionamiento Propuesto	
	2.3 ÁREAS DE PASAJEROS	
	2.3.1 Estimación de puestos de trabajo y recintos de control de pasajeros	
	2.3.1.1 Flujo de vehículos y pasajeros	
	2.3.1.2 Distribución horaria de los flujos	
	2.3.1.3 Duración media de los controles	
	·	
3.	. ANEXOS PROYECCIONES	39
	3.1 FLUJO DE CARGA CON ORIGEN EN NICARAGUA Y DESTINO EN COSTA RICA Y PANAMÁ	39
	3.2 FLUJO DE CARGA CON ORIGEN EN COSTA RICA Y PANAMÁ Y DESTINO EN NICARAGUA	
	3.3 FLUJO DE CARGA CON ORIGEN EN NICARAGUA Y DESTINO EN EL RESTO DEL MUNDO	
	3.4 FLUJO DE CARGA CON ORIGEN EN EL RESTO DEL MUNDO Y DESTINO EN NICARAGUA	
	3.5 FLUJO DE PASAJEROS	

ÍNDICE DE TABLAS

Tabla 1 Flujos de comercio seleccionados	13 16 18 19
ÍNDICE DE GRÁFICOS	
Gráfico 1 Flujos de carga seleccionadas 1988 - 2014	7
Gráfico 2 Exportaciones de Nicaragua a Costa Rica y Panamá – Serie original en Tonelada	as 8
Gráfico 3 Flujo de carga en sentido NI a CR-PA - Serie original y modelizada	
Gráfico 4 Flujo de carga proyectada sentido NI a CR-PA	
Gráfico 5 Importaciones de Nicaragua provenientes de Costa Rica y Panamá - Serie origin	
Toneladas	10
Gráfico 6 Flujo de carga en sentido CR-PA hacia NI - Serie original y modelizada	
Gráfico 8 Flujo de carga proyectada sentido CR-PA hacia NI	
Gráfico 9 Exportaciones de Nicaragua al Resto del Mundo - Serie original en Toneladas	
Gráfico 10 Flujo de carga en sentido NI hacia RM - Serie original y modelizada	
Gráfico 11 Flujo de carga proyectada sentido NI hacia RM	
Gráfico 12 Importaciones de Nicaragua originadas en el Resto del Mundo - Serie original e	
Toneladas	
Gráfico 13 Flujo de carga en sentido RM hacia NI - Serie original y modelizada	
Gráfico 14 Flujo de carga proyectada sentido RM hacia NI	
Gráfico 15 Flujo de pasajeros migrantes por sentido	
Gráfico 16 Flujo de pasajeros en ambos sentido de marcha – Serie original	
Gráfico 17 Flujo de pasajeros en ambos sentidos - Series original y modelizada	
Gráfico 18 Flujo de pasajeros migrantes proyectados en ambos sentidos	
Gráfico 19 Flujo de carga proyectado en sentido NI - CR	
Gráfico 21 Flujo de carga proyectado en sentido CR - Ni	
Gráfico 22 Flujo de pasajeros migrantes en sentido CR-NI	
Granco 22 i rujo de pasajeros ringrantes en sentido GN-191	19

1. PROYECCIÓN DE LA DEMANDA

1.1 INTRODUCCIÓN

En este apartado se desarrollan las proyecciones de los flujos de cargas, pasajeros y medios de transporte que demandarán el Paso de Frontera, con un horizonte de veinticinco (25) años. En primer término, se detalla la metodología de análisis, estableciendo someramente los conceptos teóricos de los modelos econométricos utilizados, y los criterios y supuestos adoptados a los fines del presente Estudio.

Seguidamente, se resumen los resultados de la modelación, y sus características principales.

Finalmente, se presentan los resultados alcanzados, que incluyen las series de carga y pasajeros, y sus respectivos medios de transporte, correspondientes al periodo 2016-2040.

La información adoptada como base en materia de distribución de los tráficos por origen y destino, tipo de despachos y cantidad de MT por tipo de despacho y condición de carga, corresponde a la disponible en el informe "Procesos de Control Pasos de Frontera (RG-2261) Frontera Nicaragua – Costa Rica Paso San Pancho (NI) – Las Tablillas (CR). BID DIC 2014".

1.2 METODOLOGÍA

En el caso de la carga, por tratarse de un Paso de Frontera que sólo se habilitaba a solicitud, no se contó con series suficientemente abarcadoras que den cuenta de la evolución de los flujos de comercio verificados en el Paso de Frontera (despachos por sentido de marcha y en volúmenes).

Por esta razón, se decidió estudiarlas series de comercio total entre Nicaragua y Costa Rica, y de Nicaragua con el Mundo, a fin de inferir a partir de los flujos de comercio total, la evolución probable del comercio bilateral y el que se materializa entre Nicaragua con terceros países en tránsito por el país vecino, utilizando el Paso de Frontera de San Pancho (NI) - Las Tablillas (CR).

En tal sentido se dispuso de datos de comercio total en volúmenes para el periodo 1988-2014. La fuente de los mismos es la Base de Datos Estadísticos de Comercio Exterior (BADECEL) de la CEPAL, para el periodo 1988-2011², mientras que los años restantes fueron completados con información procedente del Sistema de Estadísticas de Comercio de Centroamérica de SIECA.

Se utilizó a Nicaragua como país reportante de los datos, por considerarse sus respectivas series más consistentes.

A partir de la proyección de dichos valores, se aplicaron las tasas de crecimiento obtenidas para cada serie, a los flujos estimados (y sus orígenes – destino) para el Paso en el año base 2013, obteniendo de esta forma los flujos que se estima que se verificarán por el Paso hasta el año 2040.

Para proyectar los Pasajeros migrantes, se utilizaron los datos de la DGME de Nicaragua.

² Si bien la BADECEL abarca el periodo 1970-2011, por la existencia de datos faltantes se utilizó la serie a partir del año 1988.

En todos los casos, se aplicó la metodología ARIMA, una parte integrante de los que se conoce normalmente como "Econometría de Series Temporales". En este caso, a diferencia de lo que sucede con la "Econometría estructural", donde se requiere de una especificación de los modelos (revisión de marco teórico, identificación de variables relevantes, especificación de forma funcional, etc.), aquí son los propios datos temporales de la variable a estudiar los que nos indican las características de la estructura probabilística subyacente y nos ayudan a pronosticar el futuro.³

El enfoque de análisis temporal de una serie descansa siempre, en mayor o menor medida, en la idea genérica de que una serie temporal de datos puede descomponerse siempre en distintos componentes parciales que, agregados conforme a un esquema sumativo o multiplicativo, configuran el aspecto global de la serie observada. Suele así afirmarse que cualquier serie de datos temporales viene a ser la agregación de cuatro patrones de evolución de sus datos: tendencia, ciclo, estacionalidad y componente errático o no sistemático.

La idea básica del análisis de series consiste en que cada uno de los componentes de las series puede ser analizado de forma separada para posteriormente, agregar los análisis parciales en un resultado conjunto.

En ocasiones el análisis prioriza, es decir, se centra sólo en alguno de los componentes sistemáticos por separado (la tendencia, la estacionalidad, el ciclo), en otras ocasiones, como es el caso de la modelización ARIMA, lo que interesa es ir más allá de las componente cíclicas, tendenciales y estacionales, analizando la componente no sistemática, de carácter aparentemente aleatorio, para tratar de identificar algún patrón de interés en su evolución que ayude a entender la progresión de la serie completa.

Así pues, la aplicación de modelos ARIMA suele realizarse por descomposición, analizando en primer lugar la tendencia de la serie, pasando después a observar la estacionalidad y concentrándose después en la identificación del componente filtrado de tendencia y estacionalidad.

Los modelos ARIMA tratan de expresar la evolución de una variable Yt de un proceso estocástico en función del pasado de esa variable o de impactos aleatorios que esa variable sufrió en el pasado. Para ello, se utilizarán dos tipos de formas funcionales lineales sencillas: los modelos AR (Modelos Autorregresivos), y los modelos MA (de Medias Móviles).

Definimos un modelo AR como aquel en el que la variable endógena de un período t es explicada por las observaciones de ella misma correspondientes a períodos anteriores (parte sistemática) más un término de error ruido blanco (innovación).

Un modelo de los denominados MA es aquel que explica el valor de una determinada variable en un período t en función de un término independiente y una sucesión de

_

³ La mayoría de los métodos estadísticos elementales suponen que las observaciones individuales que forman un conjunto de datos son realizaciones de variables aleatorias mutuamente independientes. En general, este supuesto de independencia mutua se justifica por la atención prestada a diversos aspectos del experimento, incluyendo la extracción aleatoria de la muestra de una población más grande, la asignación aleatoria del tratamiento a cada unidad experimental, etc. Además, en este tipo de datos (tomamos una muestra aleatoria simple de una población más grande) el orden de las observaciones no tiene mayor importancia. Sin embargo, en el caso de las series temporales, hemos de tener en cuenta, sin embargo, que:

[•] el orden es fundamental: tenemos un conjunto de datos ordenado

[•] el supuesto de independencia no se sostiene ya que, en general, las observaciones son dependientes entre sí y la naturaleza de su dependencia es de interés en sí misma

términos de error, de innovaciones correspondientes a períodos precedentes, convenientemente ponderados.⁴

Para el desarrollo de dicha metodología se utilizó el software STATA en su versión 13. Por otro lado, mientras que aquí se presentan los principales resultados obtenidos, en el Anexo Proyecciones se ofrecen las salidas del programa para cada paso del proceso, correspondientes a cada una de las series analizadas.

1.2.1 Flujo de carga

En primer lugar, se presentan las series de comercio total utilizadas, por sentido, para el periodo 1988-2014. Las mismas corresponden a los siguientes flujos:

- Exportaciones de Nicaragua con destino a Costa Rica y Panamá.
- Importaciones de Nicaragua originadas en Costa Rica y Panamá.
- Exportaciones de Nicaragua con destino al Resto del Mundo, es decir, cualquier destino excepto los países de Mesoamérica.
- Importaciones de Nicaragua originadas en el Resto del Mundo.

Tabla 1 Flujos de comercio seleccionados

	FLUJOS DE COMERCIO EN TONELADAS							
		ntido						
Año	NI a CR- PA	CR-PA a NI	NI a RM	RM a NI				
1988	39.717	16.846	193.881	1.030.774				
1989	137.204	21.149	245.956	920.858				
1990	58.483	56.888	118.992	1.219.148				
1991	60.174	75.815	333.075	1.165.243				
1992	51.606	102.604	287.339	1.297.027				
1993	62.022	88.835	208.936	507.165				
1994	67.656	77.866	245.479	1.234.699				
1995	50.941	265.856	342.674	1.270.490				
1996	40.790	369.336	387.023	700.287				
1997	59.350	357.344	426.079	1.080.261				
1998	59.711	324.272	423.323	1.426.876				
1999	75.004	324.525	296.624	1.601.832				
2000	80.862	392.107	390.710	1.938.010				
2001	92.092	276.678	395.106	1.803.485				
2002	131.803	293.010	356.328	2.192.770				
2003	137.770	328.333	343.015	2.110.964				
2004	131.324	334.853	442.163	2.222.662				
2005	119.449	454.610	577.316	2.056.718				
2006	68.084	307.262	501.387	1.973.386				

⁴ Así, X_t sigue un proceso ARMA (p,q), en este proceso habrá p términos autorregresivos y q términos de media móvil:

$$X_{t} = c + \emptyset_{1}X_{t-1} + \dots + \emptyset_{p}X_{t-p} + \theta_{1}\varepsilon_{t-1} + \theta_{2}\varepsilon_{t-2} + \dots + \theta_{q}\varepsilon_{t-q} + \varepsilon_{t}$$

$$AR(p)$$

$$MA(q)$$

Donde e_t es un proceso de ruido blanco, y c, $\not O_1$, ..., $\not O_p$, θ_1 , ..., θ_q son los parámetros del modelo.

FLUJOS DE COMERCIO EN TONELADAS						
		Ser	ntido			
Año	NI a CR- PA	CR-PA a NI	NI a RM	RM a NI		
2007	183.267 440.452		614.080	2.214.288		
2008	185.339	468.450	576.199	2.138.229		
2009	223.574	593.131	710.480	2.421.131		
2010	198.884	596.204	884.712	2.575.009		
2011	239.137	706.454	838.692	2.591.182		
2012	252.810 673.82		948.568	3.188.359		
2013	252.793	662.070	1.033.930	2.556.829		
2014	252.471	627.450	1.222.254	2.483.456		

Fuente: Elaboración propia con base en información del BADECEL y SIECA

Fuente: Elaboración propia con base en información del BADECEL y SIECA

El análisis se realizó para cada uno de los flujos de carga, en forma separada. Así, en el caso de las exportaciones de Nicaragua a Costa Rica y Panamá, en primer lugar se determinó si la serie presentaba estacionariedad, requisito fundamental para aplicar la metodología ARIMA. Un proceso es estacionario cuando se encuentra en equilibrio estadístico, en el sentido de que sus propiedades (su media, su varianza, las covarianzas entre distintas variables del proceso) no varían a lo largo del tiempo.

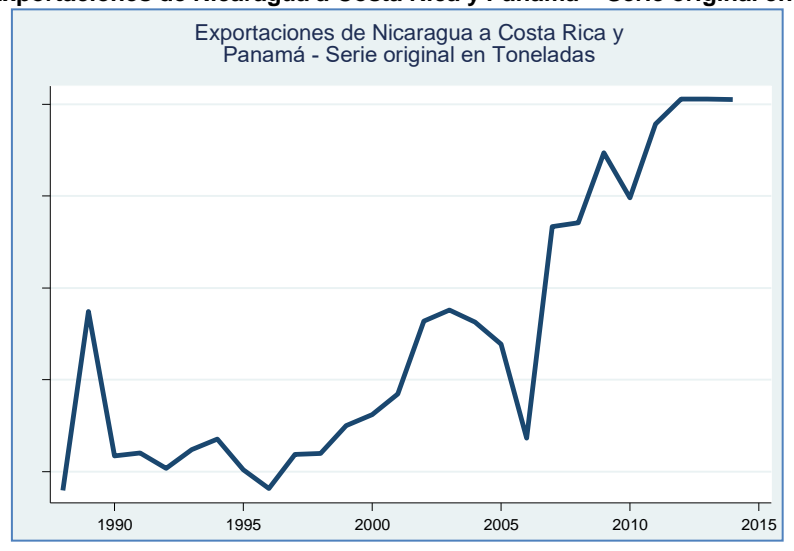


Gráfico 2 Exportaciones de Nicaragua a Costa Rica y Panamá - Serie original en Toneladas

Dado que se aprecia la presencia de una tendencia positiva (lo que indica que la media no es constante con respecto al tiempo), se trabajo con la serie en su primera diferencia, y de esta forma se evitó dicho inconveniente.

A partir de aquí, una vez establecida la estacionariedad mediante la observación de los autocorrelogramas muestrales y parciales, y la superación del test de Dickey - Fuller Aumentado de raíces unitarias, se propusieron y analizaron modelos ARIMA de distintos órdenes.

Se establecieron distintos modelos factibles:

- ARIMA (1,1,0): modelo integrado, autorregresivo de primer orden.
- ARIMA (0,1,1): modelo integrado, de medias móviles de primer orden.

De la comparación de los criterios de ajuste de los mismos (Akaike y Schwartz), y de la significatividad individual de los coeficientes AR y MA correspondientes, se estableció como modelo factible, el ARIMA (1,1,0).

Al estudiar los residuos de la predicción, se determinó que estos no presentaban estructura, tal cual se espera. Se busca que los residuos presenten un comportamiento del tipo "ruido blanco", es decir, una sucesión de variables aleatorias con esperanza nula, varianza constante, y covarianzas nulas para distintos valores de t

Así, se presenta a continuación el gráfico de la serie original (en color azul) y de la serie obtenida a partir del modelo propuesto (en color rojo). Del mismo se desprende que el ajuste es considerable, y estadísticamente significativo.

Finalmente, se proyectó la serie, y se determinó un intervalo de confianza del 95%. Es decir que existe un 95% de probabilidad de que el valor futuro de la variable estudiada se sitúe dentro de los límites del intervalo.

Gráfico 3 Flujo de carga en sentido NI a CR-PA - Serie original y modelizada

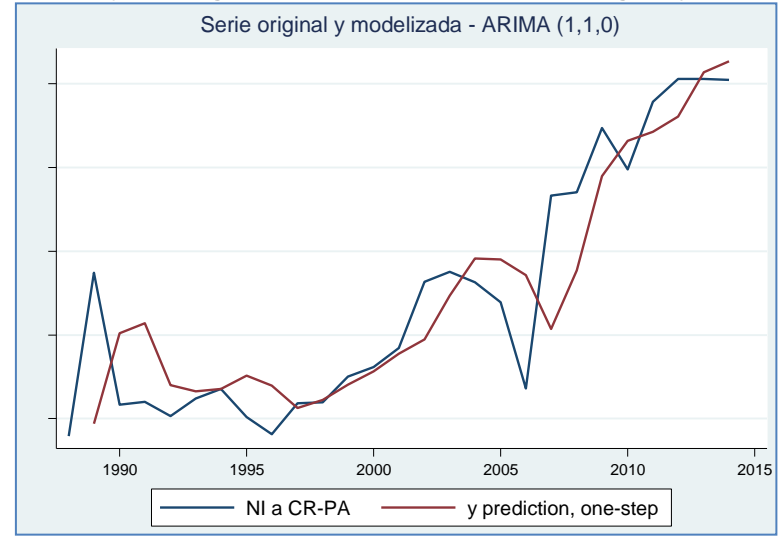


Gráfico 4 Flujo de carga proyectada sentido NI a CR-PA



En el caso de los flujos en sentido Costa Rica-Panamá hacia Nicaragua, se siguió el mismo procedimiento. Dado que existía una tendencia positiva, aquí también se trabajo con la serie en su primera diferencia.

Una vez establecida la estacionariedad de la serie, se analizaron distintas alternativas de modelos ARIMA, estableciéndose en este caso, dos candidato, un modelo integrado de medias móviles de orden 1: ARIMA (0,1,1), y el finalmente escogido, un modelo integrado autorregresivo de orden 1: ARIMA (1,1,0).

Se estableció que los residuos de la serie tenían un comportamiento de tipo "ruido blanco", por lo que se presenta a continuación el gráfico con la serie original (en color azul) y la serie modelada (en color rojo). El ajuste es considerablemente bueno.

Finalmente, se presenta la proyección de los flujos y los límites del intervalo de confianza al 95%.

Gráfico 5 Importaciones de Nicaragua provenientes de Costa Rica y Panamá - Serie original en Toneladas



Gráfico 6 Flujo de carga en sentido CR-PA hacia NI - Serie original y modelizada

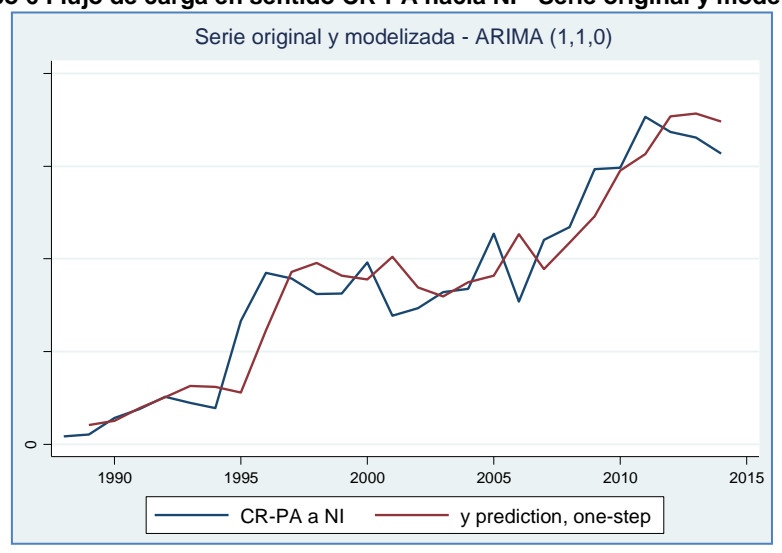
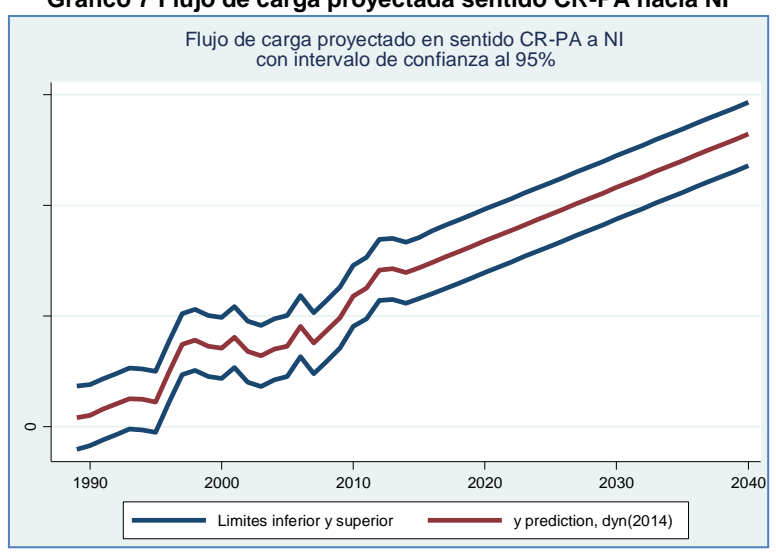


Gráfico 7 Flujo de carga proyectada sentido CR-PA hacia NI



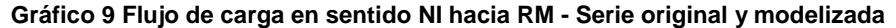
Finalmente, se modelaron los flujos de comercio entre Nicaragua y el Resto del Mundo, es decir, con todos aquellos países que no forman parte de Mesoamérica. De esta forma, se busca representar los flujos por el Paso que circulan desde y hacia el Puerto Limón, en Costa Rica.

En este caso, con respecto a las exportaciones de Nicaragua hacia el Resto del mundo, se determinó un modelo ARIMA (1,1,2), mientras que en el caso de los flujos en sentido contrario (importaciones de Nicaragua originadas en el Resto del Mundo), el modelo representativo es un ARIMA (0,1,1).

Se presentan a continuación los gráficos correspondientes a cada caso:



Gráfico 8 Exportaciones de Nicaragua al Resto del Mundo - Serie original en Toneladas



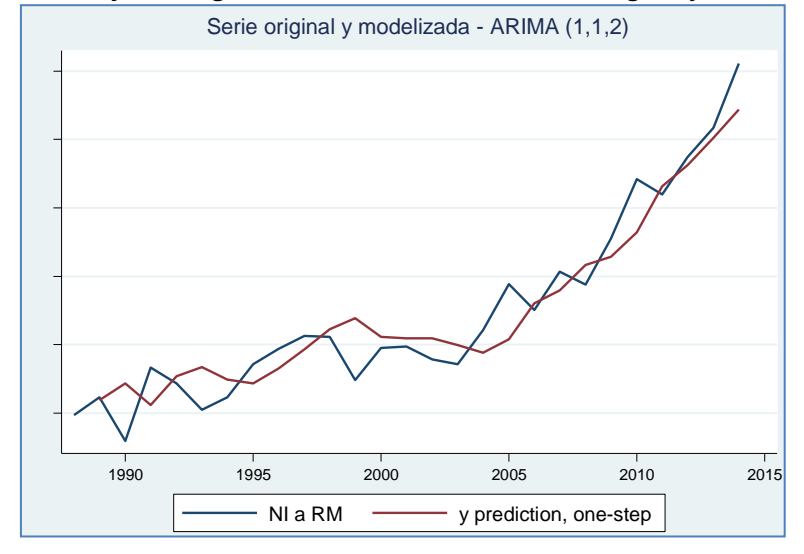


Gráfico 10 Flujo de carga proyectada sentido NI hacia RM

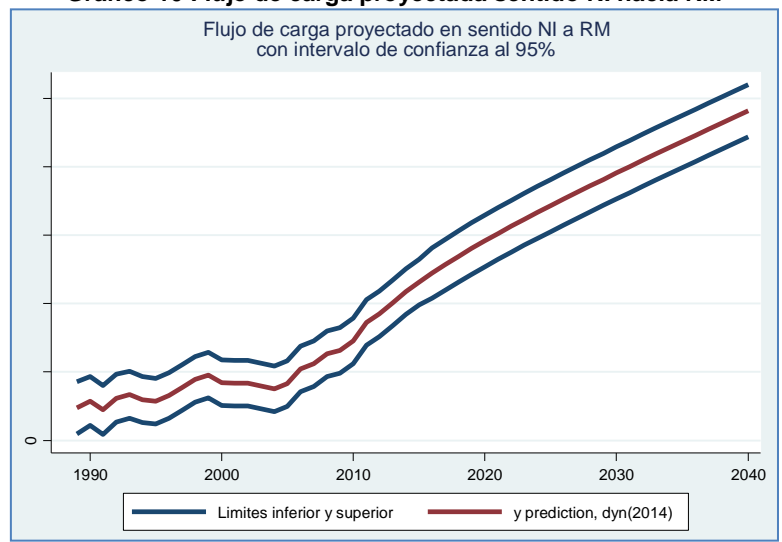
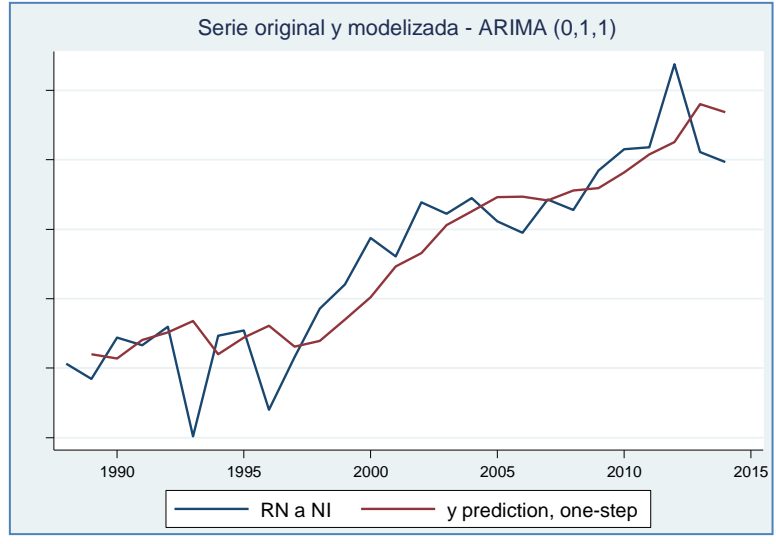


Gráfico 11 Importaciones de Nicaragua originadas en el Resto del Mundo - Serie original en Toneladas



Gráfico 12 Flujo de carga en sentido RM hacia NI - Serie original y modelizada



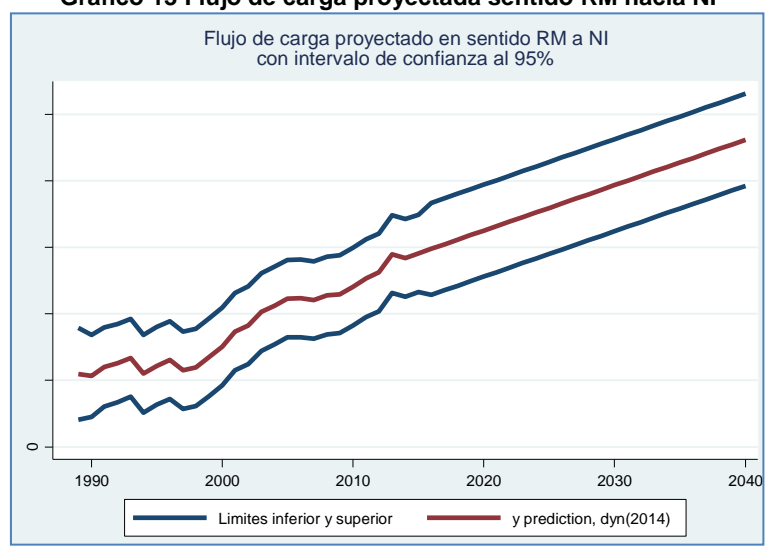


Gráfico 13 Flujo de carga proyectada sentido RM hacia NI

1.2.2 Flujo de pasajeros

En primer término, se presentan la serie de pasajeros migrantes por el Paso, para cada sentido de marcha, en el periodo 2000-2015.

Hasta mayo de 2015, los valores corresponden a los registros del Puesto Fronterizo fluvial de San Carlos / Los Chiles. A partir de ese momento, se adicionan los registros del Puesto de San Pancho.

Tabla 2 Pasajeros migrantes por sentido

Pas	Pasajeros Migrantes por sentido						
۸ña		Sentido					
Año	NI-CR	CR-NI	Total				
2001	13.593	10.350	13.593				
2002	12.634	10.685	12.634				
2003	12.346	9.533	12.346				
2004	6.119	6.150	6.119				
2005	11.507	9.372	11.507				
2006 2007	12.693	11.856	12.693				
	18.762	17.550	18.762				
2008	28.920	28.607	28.920				
2009	23.101	21.882	23.101				
2010	22.991	20.036	22.991				
2011	25.240	24.042	25.240				
2012	28.743	28.002	28.743				
2013	27.859	28.745	27.859				
2014	29.617	28.810	29.617				
2015	44.428	45.328	44.428				

Fuente: Elaboración propia con base en datos de la DGME de NI y de CR

Gráfico 14 Flujo de pasajeros migrantes por sentido Pasajeros Migrantes por sentido 100.000 80.000 60.000 40.000 20.000 2010 2014 2011 2012 2013 ■ NI-CR ■ CR-NI

Fuente: Elaboración propia con base en datos de la DGME de NI y CR

Teniendo en cuenta que la participación de cada sentido de marcha en el total se mantiene prácticamente invariable en los últimos años, se trabajo con la serie de flujos totales.

Se aprecia que existe una clara tendencia positiva. En este caso, no sólo se trabajó con la serie en su primera diferencia, con el fin de "eliminar" la tendencia, sino que se introdujo una variable adicional binaria, comúnmente llamada "dummy", que permite dar cuenta de fuertes variaciones particulares en los valores medios, muy superiores al registrado en cualquier otro momento del periodo de análisis, correspondientes a los años 2004 y 2008. En dichos años, la variación interanual se situó en el -44% y 58%. Esta situación, anómala en relación a los valores restantes, puede llegar a distorsionar las proyecciones si no se le da un tratamiento particular.

De esta forma, la variable "dummy" adopta un valor unitario en el caso de que el año en cuestión corresponda al 2004 o al 2008. Esto permite que el modelo determine distintas constantes para cada periodo: 2000-2003, 2004, 2005-2007, 2008 y 2009 en adelante.



Gráfico 15 Flujo de pasajeros en ambos sentido de marcha - Serie original

El resultado del análisis, confirmado con el estudio de los residuos de la predicción, determinó la elección de un modelo ARIMA (2,1,0), es decir, integrado, y autorregresivo de segundo orden.

A continuación se presentan los gráficos e la series original junto a la modelizada, lo que permite apreciar la bondad del ajuste, y luego la serie proyectada, con un intervalo de confianza del 95%.

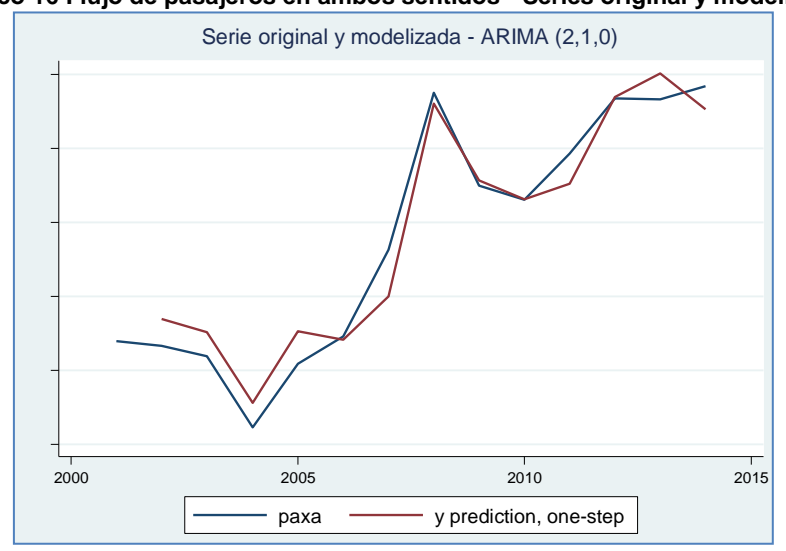
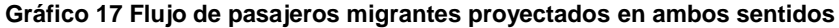


Gráfico 16 Flujo de pasajeros en ambos sentidos - Series original y modelizada





1.2.3 Resultados

Una vez obtenidas las proyecciones (tasas de crecimiento) de cada una de las series analizadas, se determinaron los flujos estimados futuros por el Paso de Frontera.

En el caso de los flujos de carga, como se mencionara, se contó con los valores correspondientes a los flujos terrestres verificados por el Paso de Frontera en el año 2013, discriminados por tipo de despacho, y origen y destino de los mismos, obtenidos

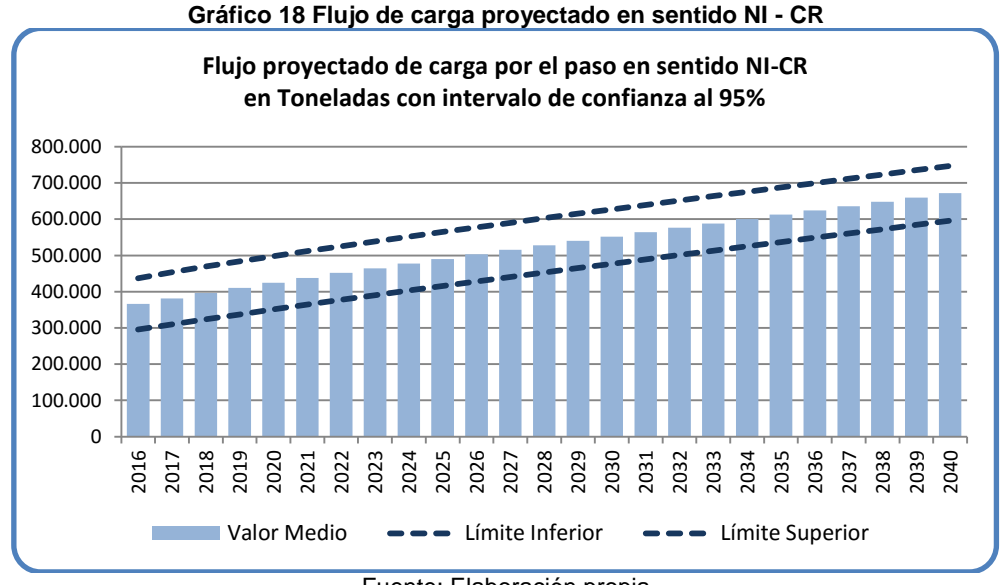
del informe "Procesos de Control Pasos de Frontera (RG-2261) Frontera Nicaragua – Costa Rica Paso San Pancho (NI) – Las Tablillas (CR). BID DIC 2014".

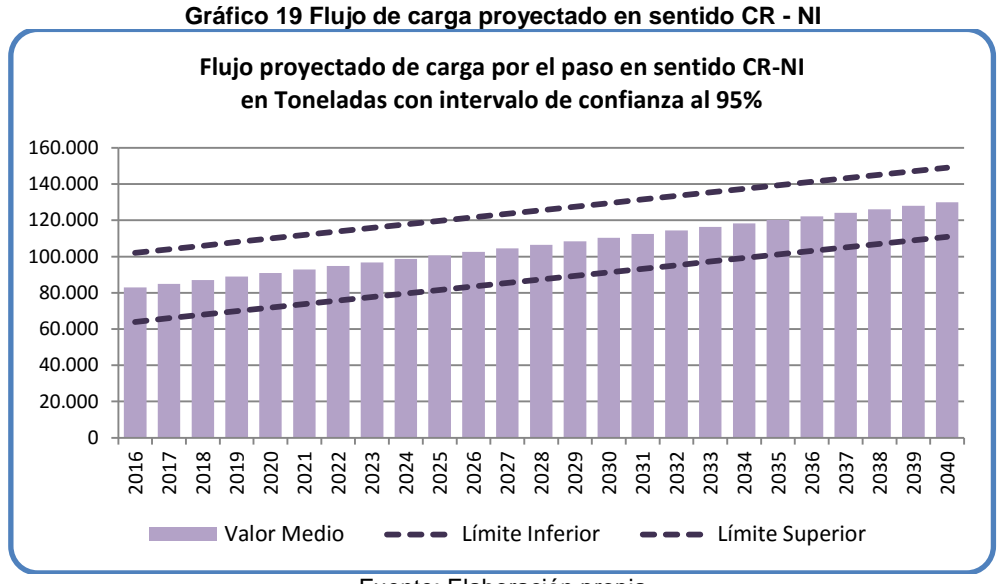
Suponiendo que dicha participación se mantenga constante en el futuro, y aplicando los resultados de la modelización, los flujos proyectados por el Paso hasta el año 2040, por sentido de marcha, medidos en toneladas, resultan ser los siguientes:

Tabla 3 Flujo proyectado de carga 2016 - 2040

FLUJO PROYECTADO DE CARGA POR EL PASO DE FRONTERA POR SENTIDO – EN TONELADAS							
	;	Sentido NI-CF	_		I		
Año	Límite Inferior	Valor Medio	Límite Superior	Límite Inferior	Valor Medio	Límite Superior	
2016	295.655	366.526	437.396	63.981	83.045	102.109	
2017	309.333	381.604	453.875	65.935	85.003	104.072	
2018	323.518	396.441	469.365	67.892	86.962	106.033	
2019	337.345	410.697	484.050	69.848	88.921	107.993	
2020	350.974	424.645	498.316	71.804	90.879	109.953	
2021	364.313	438.242	512.171	73.760	92.836	111.913	
2022	377.442	451.583	525.725	75.715	94.794	113.872	
2023	390.366	464.686	539.005	77.671	96.751	115.831	
2024	403.124	477.594	552.065	79.626	98.708	117.790	
2025	415.732	490.332	564.933	81.580	100.664	119.748	
2026	428.214	502.927	577.641	83.535	102.620	121.706	
2027	440.585	515.397	590.210	85.489	104.576	123.663	
2028	452.861	527.762	602.663	87.443	106.532	125.621	
2029	465.056	540.035	615.015	89.397	108.488	127.578	
2030	477.180	552.230	627.281	91.351	110.443	129.535	
2031	489.243	564.359	639.475	93.305	112.398	131.492	
2032	501.254	576.429	651.604	95.259	114.353	133.448	
2033	513.220	588.450	663.680	97.212	116.308	135.405	
2034	525.146	600.428	675.709	99.165	118.263	137.361	
2035	537.040	612.369	687.698	101.119	120.218	139.317	
2036	548.905	624.279	699.652	103.072	122.172	141.272	
2037	560.745	636.161	711.577	105.025	124.126	143.228	
2038	572.564	648.020	723.476	106.978	126.081	145.184	
2039	584.365	659.859	735.352	108.930	128.035	147.139	
2040	596.150	671.680	747.210	110.883	129.989	149.094	

Fuente: Elaboración propia





Fuente: Elaboración propia

Evaluando la serie a partir del 2016, se aprecia un crecimiento anual acumulado entre puntas del 2.56% en el caso de los flujos en sentido NI-CR, y del 1.88% en sentido contrario.

Con respecto a los pasajeros migrantes, se aplicaron las tasas de crecimientos obtenidas, correspondientes a las proyecciones estimadas previamente, al flujo total de pasajeros verificados en el Paso en el año 2015. La participación de cada sentido de marcha corresponde al promedio de los últimos 10 años.

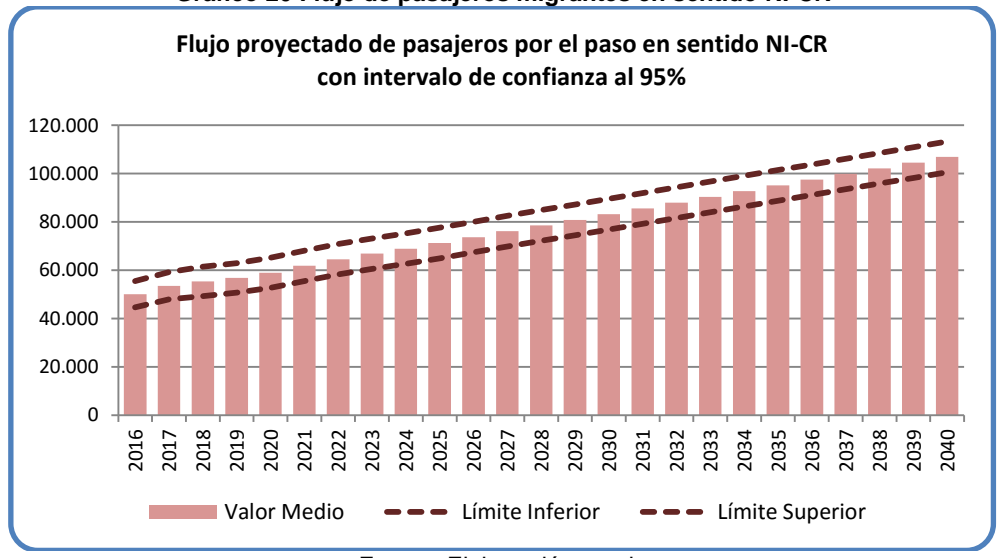
De esta forma, se presentan los flujos proyectados correspondientes al periodo de análisis, por sentido de marcha, y los límites del intervalo de confianza del 95%.

Tabla 4 Flujo de pasajeros migrantes proyectado

FLU	FLUJO PROYECTADO DE PASAJEROS MIGRANTES POR EL PASO DE FRONTERA							
	S	entido NI-CF	₹	S	Sentido CR-N	II		
Año	Límite Inferior	Valor Medio	Límite Superior	Límite Inferior	Valor Medio	Límite Superior		
2016	44.571	49.998	55.425	42.873	48.094	53.314		
2017	47.867	53.516	59.166	46.043	51.477	56.912		
2018	49.258	55.363	61.468	47.381	53.254	59.126		
2019	50.665	56.775	62.886	48.734	54.612	60.490		
2020	52.725	58.960	65.196	50.716	56.714	62.712		
2021	55.519	61.806	68.094	53.404	59.452	65.499		
2022	58.240	64.535	70.831	56.021	62.076	68.132		
2023	60.479	66.808	73.137	58.175	64.263	70.350		
2024	62.583	68.914	75.245	60.199	66.288	72.378		
2025	64.867	71.205	77.544	62.396	68.492	74.589		
2026	67.349	73.693	80.036	64.783	70.885	76.987		
2027	69.827	76.171	82.515	67.167	73.269	79.371		
2028	72.182	78.528	84.875	69.432	75.536	81.641		
2029	74.481	80.828	87.173	71.644	77.748	83.852		
2030	76.822	83.169	89.516	73.895	80.000	86.105		
2031	79.220	85.567	91.914	76.202	82.307	88.412		
2032	81.622	87.969	94.317	78.512	84.618	90.723		
2033	83.993	90.340	96.687	80.793	86.898	93.004		
2034	86.345	92.692	99.039	83.055	89.160	95.266		
2035	88.705	95.052	101.400	85.326	91.431	97.537		
2036	91.081	97.429	103.776	87.611	93.717	99.822		
2037	93.461	99.809	106.156	89.900	96.006	102.112		
2038	95.833	102.180	108.528	92.182	98.288	104.393		
2039	98.198	104.546	110.894	94.457	100.563	106.669		
2040	100.566	106.913	113.261	96.735	102.840	108.946		

Fuente: Elaboración propia

Gráfico 20 Flujo de pasajeros migrantes en sentido NI-CR



Fuente: Elaboración propia

Gráfico 21 Flujo de pasajeros migrantes en sentido CR-NI Flujo proyectado de pasajeros por el paso en sentido CR-NI con intervalo de confianza al 95% 120.000 100.000 80.000 60.000 40.000 20.000 Valor Medio --- Límite Inferior --- Límite Superior

Si se evalúa la serie entre el 2015 y el 2040, las tasas de crecimiento anuales acumuladas se sitúan en 3.58% en sentido NI-CR y en 3.33% en sentido contrario. Entre 2016 y 2040, dichos valores descienden al 3.22% en ambos casos.

1.2.4 Proyección de medios de transporte de cargas y pasajeros

Con base en las proyecciones de volúmenes de carga presentadas y los valores estimados para el año base (cuya estructura se asume constante), la tabla siguiente da cuenta de la cantidad de vehículos de carga - cargados y vacíos - que se verificarían en el lapso 2016 – 2040.

Tabla 5 MT proyectados por sentido y condición de carga

SAN PANCHO - CCN NI - Proyección de MT en ambos sentidos - día promedio año							
Año	Cargados	Vacíos	Total				
2016	70	29	99				
2017	73	30	103				
2018	76	30	106				
2019	78	31	109				
2020	81	32	113				
2021	84	32	116				
2022	86	33	119				
2023	89	34	123				
2024	91	34	126				
2025	94	35	129				
2026	96	36	132				
2027	98	37	135				
2028	101	37	138				
2029	103	38	141				
2030	105	39	144				

SAN PANCHO - CCN NI - Proyección de MT en ambos sentidos - día promedio año						
Año	Cargados	Vacíos	Total			
2031	108	39	147			
2032	110	40	150			
2033	112	41	153			
2034	115	41	156			
2035	117	42	159			
2036	119	43	162			
2037	121	43	165			
2038	124	44	168			
2039	126	45	171			
2040	128	45	174			

Por su parte la tabla siguiente presenta la proyección de pasajeros por movilidad para cada uno de los años considerados y la cantidad promedio diario de los vehículos en los que se desplazan.

Tabla 6 Proyección anual de pasajeros por movilidad y promedio diario de vehículos

SAN PANCHO	SAN PANCHO CCN NI Pasajeros – Proyección anual por sentido de pasajeros por movilidad y promedio diario de vehículos							
- 4		Pasajeros en	Vehículos					
Año	AUTOS	BUSES	PEATONES	LIGEROS	BUSES			
2016	10.000	33.999	6.000	7	3			
2017	10.703	36.391	6.422	7	3			
2018	11.073	37.647	6.644	8	3			
2019	11.355	38.607	6.813	8	3			
2020	11.792	40.093	7.075	8	3			
2021	12.361	42.028	7.417	8	3			
2022	12.907	43.884	7.744	9	3			
2023	13.362	45.430	8.017	9	3			
2024	13.783	46.861	8.270	9	4			
2025	14.241	48.419	8.545	10	4			
2026	14.739	50.111	8.843	10	4			
2027	15.234	51.796	9.140	10	4			
2028	15.706	53.399	9.423	11	4			
2029	16.166	54.963	9.699	11	4			
2030	16.634	56.555	9.980	11	4			
2031	17.113	58.186	10.268	12	4			
2032	17.594	59.819	10.556	12	5			
2033	18.068	61.431	10.841	12	5			
2034	18.538	63.030	11.123	13	5			
2035	19.010	64.636	11.406	13	5			

SAN PANCHO CCN NI Pasajeros – Proyección anual por sentido de pasajeros por movilidad y promedio diario de vehículos							
		Pasajeros en		Vehículos			
Año	AUTOS	BUSES	PEATONES	LIGEROS	BUSES		
2036	19.486	66.251	11.691	13	5		
2037	19.962	67.870	11.977	14	5		
2038	20.436	69.483	12.262	14	5		
2039	20.909	71.091	12.545	14	5		
2040	21.383	72.701	12.830	15	6		

2. DIMENSIONAMIENTO DE LAS INSTALACIONES DE CONTROL

2.1 INTRODUCCIÓN

En este apartado se describen los criterios y supuestos de cálculo adoptados y los resultados obtenidos en las tareas de dimensionamiento de las instalaciones necesarias para desenvolver los controles a las cargas y a los pasajeros, y a los vehículos en los que se desplazan por la cabecera nicaragüense del Paso de Frontera San Pancho (NI) – Las Tablillas (CR).

El objeto de la estimación es el de mensurar las superficies requeridas en cada cabecera, por tipo de control, a fin de permitir un diseño adecuado para cada una de las instalaciones de control propuestas.

Las áreas cuya estimación se aborda, están conformadas por:

- Superficies destinadas a las tareas administrativas y servicios comunes en las instalaciones reservadas al control de cargas y pasajeros.
- Requerimiento de puestos de control de cargas y pasajeros (que arriban al complejo en vehículos particulares, en buses en otros medios locales y caminando), de acuerdo al modelo operativo propuesto.

En general, la infraestructura necesaria para las tareas de control responde a dos demandas diferenciadas. Una, no vinculada directamente con la operatoria de control en sí misma, que será función de la cantidad de instituciones de control presentes en el Paso de Frontera, de las dotaciones de personal de cada una de ellas y del tipo y cantidad de áreas comunes y de servicios que se identifiquen como necesarios en cada caso. A esta área la denominaremos "fija".

La segunda, que denominaremos "variable", está relacionada directamente con las tareas de control que se llevan a cabo sobre cada uno de los segmentos que demandan el uso del Paso de Frontera y por ende será "variable" en función del número de usuarios y de las características y equipamiento que en cada caso se apliquen en el proceso de control.

De esta forma, para la cuantificación de las áreas requeridas para las tareas de administración y control inherentes al transporte de pasajeros y de cargas se adoptan dos criterios diferenciados.

Para la determinación del área denominada "fija", se identifican una serie de áreas requeridas para un desenvolvimiento eficiente del Paso de Frontera.

A partir de la identificación de las áreas aludidas, se asigna a cada una de ellas una determinada superficie expresada en módulos de idéntica superficie, estimados como necesarios para cada área de trabajo. A esta sumatoria se le aplica un porcentaje estándar adicional que representa los espacios necesarios para circulación y se obtiene la superficie total requerida.

El área de control "variable" de cargas surge de la organización funcional y los procesos propuestos y del objetivo de no generar colas que agreguen tiempos evitables a los necesarios para la atención de los flujos promedio diario proyectados a los años 2034 y 2040, bajo distintos escenarios.

Para el área "variable", en materia de control de pasajeros se realiza una estimación de los puestos o recintos de control necesarios para la atención del flujo promedio diario proyectado para el año 2040 para cada segmento de usuarios. De esta forma, con base en los resultados obtenidos, la adición del espacio requerido por el equipamiento y la modalidad y calidad de atención propuesta, se obtiene el dimensionamiento de esta parte de las instalaciones.

La presentación se realiza en el siguiente orden. En primer término se realiza una estimación de las áreas fijas correspondientes a las instalaciones de control de cargas y pasajeros. Dicha estimación se encuentra desagregada en las distintas áreas concernidas en las tareas que se desarrollarán en el CCN NI e incluye el área destinada a la administración del mismo.

Seguidamente, con base en las características de la demanda de carga estimada para la situación actual y la proyección de flujos de MT, se determina la cantidad de "puestos de control" por tipo de usuarios requeridos para absorber la demanda prevista para el mes pico, hora pico del año 2040, sin generación de colas⁵

El dimensionamiento se realiza para el flujo de uno de los sentidos de marcha y el resultado aplica sobre el restante.

Para la estimación del dimensionamiento y en lo que resultó factible, se ha hecho uso de un modelo de simulación dinámica adaptado a las particularidades de este Paso de Frontera⁶.

El dimensionamiento de las instalaciones de pasajeros, sigue el mismo derrotero que el enunciado para el transporte de cargas.

2.2 AREAS FIJAS

Como se señalara, el criterio adoptado parte de la identificación de las áreas de trabajo y la asignación a las mismas de módulos equivalentes, simples (9 m2) o dobles (18 m2). La identificación y asignación de módulos toma en consideración las características requeridas para un eficiente funcionamiento de las instalaciones de control, el volumen de cargas proyectado para el Paso de Frontera y la experiencia de los consultores respecto a la organización física de Pasos de Frontera.

El detalle de las áreas, por institución o servicio concernido y la asignación de espacios se muestran en la siguiente tabla.

⁵Dada el escaso incremento que se verifica en la cantidad de MT entre 2034 y 2040, el dimensionamiento se realizará sólo para el año final de las proyecciones en su escenario medio.

⁶ Se utiliza el modelo de simulación dinámica desarrollado por el consultor para el Estudio de Conectividad AR – PY – CAF 2015.

Tabla 7 CCN NI SAN PANCHO Áreas fijas de cargas y pasajeros

Tabla 7 CCN NI SAN PANCHO Areas fijas de cargas y pasajeros ÁREAS FIJAS CCN PASAJEROS y CARGAS - PF SAN PANCHO NI						
Cabecera Co	ntrol Nacional bidireccional - Nicarag	ua del PF S	an Pancho	- Las Tablilla	ıs	
ZONA	ESPACIO FÍSICO	Módulos simples (9 m2)	Módulos dobles (18 m2)	Superficie	Total Área	
	Supervisión	1	-	9	9	
	Administración	1	-	9	9	
DGA	Revisores de vehículos, equipajes y personas	1	-	9	9	
DGA	Verificadores de mercancías	-	1	18	18	
	Retenciones	1	-	9	9	
	Archivo	1	-	9	9	
	Supervisión	1	-	9	9	
DGME	Administración y archivo	1	-	9	9	
	Inspectoría / Especiales	1	-	9	9	
	Supervisión	1	_	9	9	
	Administración	1	_	9	9	
	Inspectores mercancías y equipajes		1	18	18	
MAGFOR	Laboratorio y muestras vegetales y		'	10	10	
MAGIOR	zoosanitario	1	-	9	9	
	Retenciones	1	-	9	9	
	Archivo	1	-	9	9	
	Supervisión	1	-	9	9	
SEGURIDAD/	Administración y oficiales - Materiales y armería	2	-	9	18	
CONTROL ANTIDROGAS	Vigilantes	-	1	18	18	
ANTIDIOOAG	Retenciones	1	-	9	9	
	Calabozo	1	-	9	9	
	Consultorio	1	-	9	9	
SALUD	Administración	1	-	9	9	
PÚBLICA	Sala de Espera	1	-	9	9	
	Sala de Aislamiento	1	-	9	9	
	Coordinación	1	-	9	9	
	Administración	1	_	9	9	
,	Cómputos y comunicaciones	1	_	9	9	
COORDINACIÓN	Materiales para aseo y jardinería	1	-	9	9	
	Materiales para mantenimiento	1	-	9	9	
	Salón de Usos Múltiples	-	1	18	18	
	Sanitarios masculinos	2	-	9	36	
	Sanitarios femeninos	2	_	9	36	
	Tisanería funcionarios	-	1	18	18	
SERVICIOS	Vestuario masculino y duchas	_	1	18	18	
	Vestuario frascullio y duchas	-	1	18	18	
	Cajeros, teléfonos y expendedores automáticos	1	-	9	9	
TURISMO	Oficina promocional	1	_	9	9	
IUNIONIU	TOTAL PARCIAL	'		ع	9 459	
CLIDED		NANITENIINA	IIENTO (200	/)		
SUPERI	FICIE DE CIRCULACIÓN, SISTEMAS Y	IVIAIN I EINIIV	ii⊏iv1∪ (20%	70)	91,8	
TOTAL 550						

EDIFICIO DE LA ZEP (parte del ÁREA FIJA DE CARGAS)							
CCN	CCN CARGAS - Nicaragua del PF San Pancho - Las Tablillas						
ZONA Espacio físico Unidades Superficie unitaria							
SERVICIOS FUNCIONALES	Sala de trabajo, telefonía e internet	1	18	18			
	Tisanería	1	18	18			
CEDVICIOS	Sanitario femenino y duchas	1	9	9			
SERVICIOS PERSONAS	Sanitario masculino y duchas	2	9	18			
PERSONAS	Vestuario masculino y lavadero	2	9	18			
TOTAL PARCIAL							
SUPERFICIE DE CIRCULACIÓN, SISTEMAS Y MANTENIMIENTO (20%)				16,2			
TOTAL				97,2			

El total de módulos previstos en ambas locaciones resulta equivalente a una superficie total de 648 metros cuadrados que incluyen áreas de circulación.

2.2.1 ÁREA VARIABLE CARGAS

En este apartado se presentan los criterios y resultados obtenidos en el dimensionamiento de las áreas variables para el control de las cargas y los MT que las movilizan.

El dimensionamiento, para cada sentido de marcha, se realiza para las siguientes instalaciones:

- Estación de Gestión (EG) de Entrada
- Canal de Despacho Expedito (CDE)
- Zona de Estacionamiento Previo (ZEP)
- Andenes Zona de Revisión de Despacho (ZRD)
- Estacionamientos en ZRD
- Estación de Revisión de Cabinas y Compartimentos (ERCC)
- Zona de Estacionamiento Escáner (ZEE)
- Estacionamiento para Encarpados
- Arco de Fumigación; si se estima necesario.
- Estacionamientos Zona Revisión Exhaustiva (ZRE) (seguridad; policía)

El primer paso fue estimar la composición de los despachos y determinar el número de MT promedio diario a adoptar, sobre los que aplicará la distribución de los despachos estimada.

La composición de los despachos adopta la estructura identificada en el Estudio "PROCESOS DE CONTROL PASOS DE FRONTERA (RG - 2261) FRONTERA NICARAGUA - COSTA RICA PASO LAS TABLILLAS - BID- Marzo 2014

Respecto al escaso flujo de MT proyectados, se adopta el criterio de estimar el dimensionamiento para la demanda prevista para el año 2040 (día promedio, mes pico, hora pico) y analizar como sensibilidad el escenario 2034 suponiendo

incrementos no previstos de demanda y de tiempos en la realización de las actuaciones e intervenciones, , en ambos casos sin generar colas.

Adicionalmente, la cantidad de MT / día que se somete a la revisión de escáner (compatible con la distribución horaria adoptada y la disponibilidad de 1 equipo) alcanza aproximadamente al 15% del total de los MT cargados totales.

Dado que se trata de un paso de frontera recientemente habilitado no es posible contar con antecedentes de distribución de los flujos por tipo de despacho, selectividad aduanera e intervenciones de MAGFOR, se han adoptado una serie de supuestos sumamente conservadores para dimensionar las instalaciones de control de cargas de este paso de frontera.

- Los despachos hacia y desde Puerto Limón se formalizan en el paso de frontera. Esto es, este flujo se compone en forma íntegra de exportaciones e importaciones, a favor de un eficiente desempeño y la disposición de infraestructura y equipamiento adecuado.
- Similar temperamento se adopta para los flujos regionales los cuales se despachaban en el Paso de Frontera aún cuando este no se encontraba habilitado.
- Las intervenciones de IPSA / MAGFOR sobre los flujos regionales aplican sobre el total de las exportaciones de NI, mientras que para los flujos hacia y desde Puerto Limón se adoptan los verificados para exportaciones e importaciones, respectivamente, estimados para el Paso de Frontera de Peñas Blancas.
- El selectivo aduanero replica los valores estimados para el Paso de Peñas Blancas.

Si bien los procesos propuestos prevén que los controles a las cargas se realicen en un mismo y único acto por parte de los funcionarios de las distintas instituciones nacionales con control delegado, dado que no se cuenta con la posibilidad de conocer cuántos despachos tendrán al unísono, en distintas instituciones, selectivos distintos al verde, se adoptó el criterio (conservador) de sumar los porcentajes de selectivo aduanero rojo e intervenciones de control fito zoosanitarias. Asimismo, para estas últimas - (casi exclusivamente exportaciones) se supuso que un 50% de los MT involucrados, demandarán la utilización de dársenas de control físico (Estos supuestos redundan en que un 39% de los MT totales que arriban al Paso de Frontera cargados, serán objeto de selectivo de revisión física)

En lo que hace al dimensionamiento de estacionamientos para la espera de resultados de Escáner y para la revisión documental de selectivo de riesgo amarillo, se adoptó un tiempo unitario de 20 minutos por MT

Las tablas siguientes ilustran sobre la distribución de los despachos adoptada para el día promedio del mes pico y la hora pico de 2040 y para el mismo año, la cantidad de MT alcanzados por los selectivos de riesgo de la aduana y los controles sanitarios como promedio diario del mes pico y hora pico.

Tabla 8 SAN PANCHO: MT por tipo de despacho 2040

SAN PANCHO CCN - NI Cargas - Valores adoptados de MT por tipo de despacho - ambos sentidos. Día promedio del mes pico - Base y 2040

		Promedio es pico	MT Hora pico	
Despacho	Base	2040 Promedio	Base	2040
Exportaciones	15	30	2	3
Exportaciones con interés sanitario	63	127	7	13
Vacíos salida	15	30	2	3
Importaciones	22	36	3	4
Importaciones con interés sanitario	4	6	1	1
Vacíos de Entrada	28	46	3	5
Total MT	147	276	15	28

Fuente: Elaboración propia

Tabla 9 SAN PANCHO: Selectividad Aduanera

SAN PANCHO CCN - NI Cargas Valores adoptados de MT por selectividad aduanera. Día promedio del mes pico, hora pico - Base y 2040					
	MT Día F	Promedio mes pico	MT Hora pico		
Selectividad aduanera	Base	2040 E Promedio	Base	2040	
Selectividad X (rojo)	1	1	1	1	
Selectividad M (rojo)	7	8	3	4	
Selectividad X Amarillo	1	1	1	1	
Selectividad M amarillo	3	4	2	2	

Fuente: Elaboración propia

La cuantía de los medios de transporte que requiere el uso de la ZEP, se estima en un 15% del total de vehículos cargados y el tiempo medio de permanencia en ciento veinte (120) minutos⁷,

Para determinar el número de estacionamientos para vehículos retenidos se adoptó el criterio de dimensionarlo para un equivalente al 1% de los MT totales o cinco plazas el que resulte menor. Se aprecia que el Paso de Frontera no debe utilizarse para albergar MT retenidos más allá del tiempo mínimo que requiera la intervención de la justicia.

Para el dimensionamiento del estacionamiento para Revisión Exhaustiva de MT se adopta, con base en observación empírica, un máximo de 3 plazas. Este valor se aprecia suficiente toda vez que el Paso de Frontera cuenta además con equipamiento de revisión no intrusiva.

⁷ No obstante, como se verá más adelante se realizó un análisis de sensibilidad sobre estos valores para reflejar, en el inicio de operación de las nuevas instalaciones, la situación actual en materia de completitud de la documentación antes de la llegada del MT al Paso de Frontera .

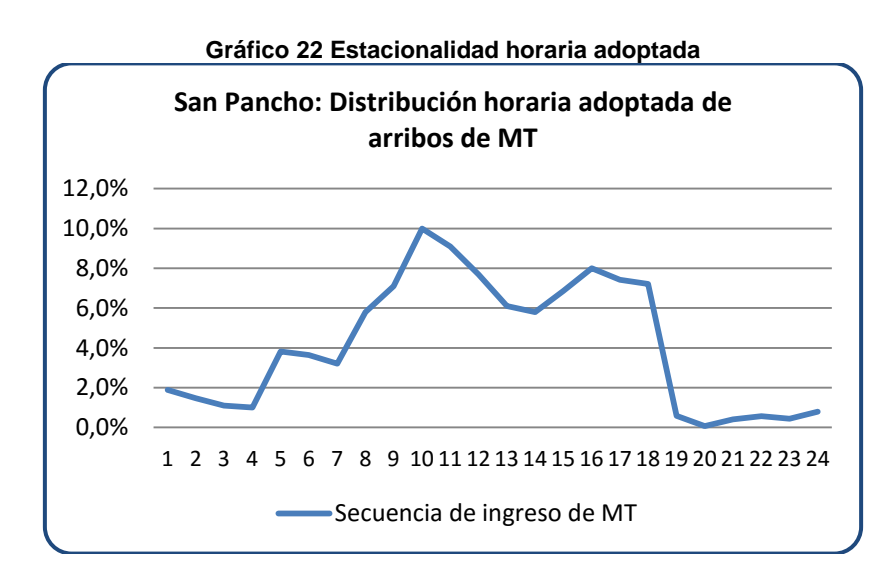
En segundo lugar, se determinaron los tiempos medios que, en función de los procesos y tecnología aplicados a los controles propuestos⁸, se adoptan para el dimensionamiento. En todos los casos, con criterio conservador, se trata de tiempos que contienen un margen que exceden los tiempos medios que deberían alcanzarse en la práctica. La tabla siguiente da cuenta de los tiempos medios de control por tipo de despacho o intervención adoptados.

Tabla 10 SAN PANCHO - Tiempos de control adoptados por tipo de despacho

SAN PANCHO CCN - NI Cargas - Tiempos de control adoptado por tipo de despacho e intervención				
Despacho o intervención	Tiempo adoptado en minutos			
Exportación ⁹	10			
Importación	10			
Tránsito	10			
Importación + sanidad ¹⁰	60			
Exportación + sanidad	20			
Tránsito + sanidad	20			
Selectivo rojo	60			
Escáner	5			
Vacíos	10			

Fuente: Elaboración propia

Como se señalara, la estimación se realizó adaptando un modelo de simulación dinámica, adaptado a las características de este Paso de Frontera, que toma como input la cuantía y distribución de los MT y los tiempos medios de control enunciados, y adopta la siguiente distribución horaria.



⁸la organización propuesta iguala los tiempos que demandará el control de los despachos con menor intervención relativa.

¹⁰ El tiempo adoptado para los despachos con interés sanitario no incluye tratamientos cuarentenarios

⁹ Exportación, importación y tránsitos sin selectivos incluyen Control de Cabina y Compartimientos del MT (CCC) cuya duración oscila en torno a los cinco minutos.

La distribución horaria adoptada, presenta una hora pico equivalente al 10% del total de MT / día. Este dato, con prescindencia de la exactitud de la distribución, es el que resulta relevante para el dimensionamiento de las instalaciones de control variable.

2.2.1.1 Resultados obtenidos y adoptados

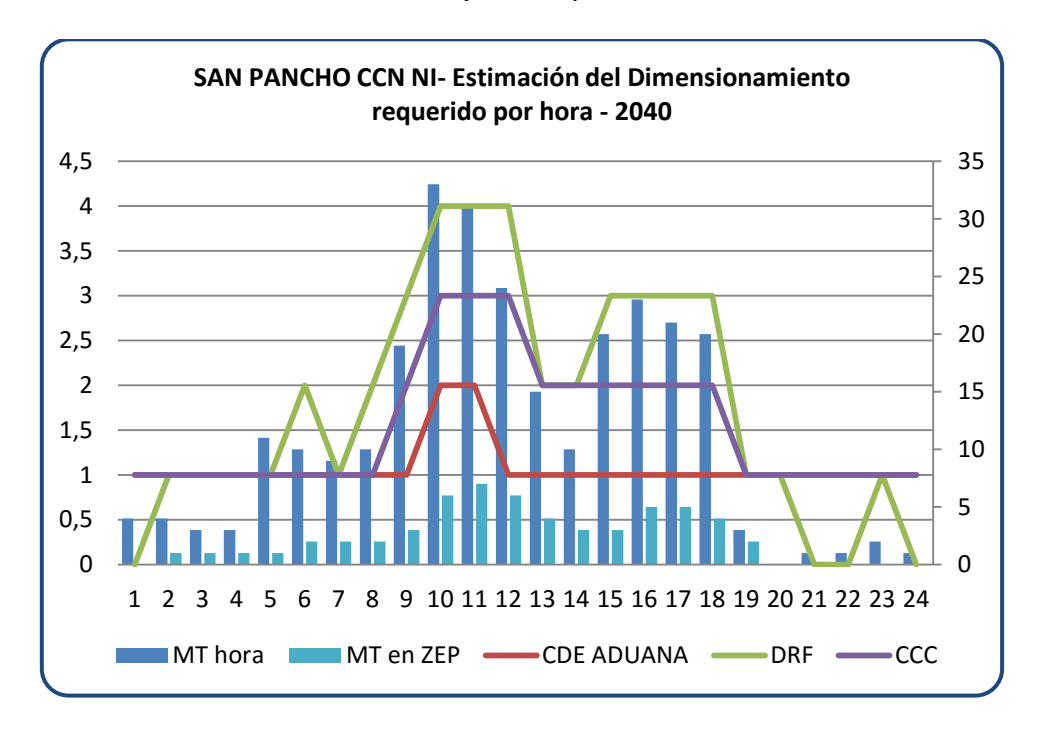
En la tabla siguiente se muestran los resultados obtenidos con la aplicación del modelo de simulación para el sentido de marcha NI - CR. Las estimaciones refieren al día promedio del mes pico de 2040 con el flujo estimado para dicho año en el escenario medio de las proyecciones.

Tabla 11 Estimación del dimensionamiento para el CCN - NI Cargas 2040 - Sentido NI - CR

SAN PANCHO CCN NI – Dimensionamiento estimado 2040			
Área de control	2040		
Andenes ZRD	1		
Estacionamiento ZRD	2		
ERCC	1		
Escáner	1		
ZEE	7		
Estacionamiento Encarpados	4		
Estacionamiento ZRE	2		
Andenes ZRD	3		
Estacionamiento ZRD	1		
ERCC	2		
Escáner	4		
ZEE	2		
Estacionamiento Retenidos	3		

Por su parte, los gráficos siguientes dan cuenta, de la utilización horaria (en función de la estacionalidad adoptada) de las áreas de control variables estimadas.

Gráfico 23 SAN PANCHO CCN - NI Cargas: Dimensionamiento estimado - 2040 (Escenario promedio)



2.2.1.2 Análisis de sensibilidad

A fin de estimar el impacto que sobre el dimensionamiento calculado tendría una variación ascendente de los tiempos y la demanda estimada, se realizó una estimación para el año 2034, suponiendo un incremento diferenciados de los tiempos control (60% en los tiempos de CDE y 20% en los restantes) y de la demanda dirigida al paso del 20%.

El diferencial aplicado a los tiempos en el CDE obedece a que los procesos y la configuración propuesta redunda en tiempos de actuación muy pequeños y en que estos tiempos no son susceptibles de comprobación empírica por lo que es razonable prever un margen de confianza adicional.

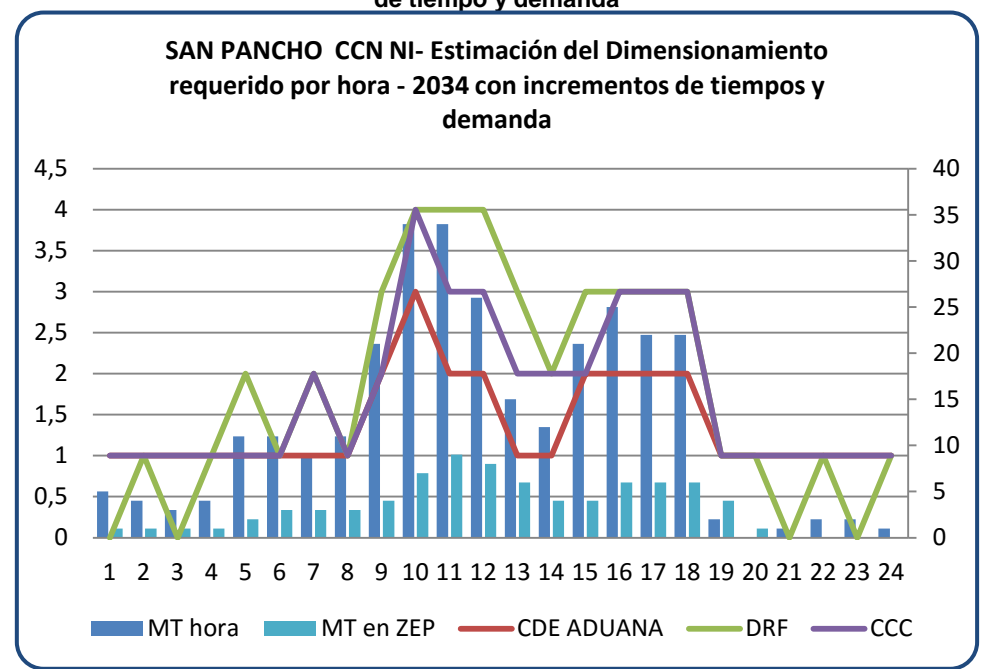
Los resultados se presentan en la tabla y gráfico que siguen.

Tabla 12 SAN PANCHO CCN – NI Cargas Estimación de áreas de control variable - 2034 - con incrementos de tiempo y demanda (20%)

SAN PANCHO CCN - NI Cargas – Resultados de la estimación de áreas de control variable - 2034 - Incremento de tiempos y demanda		
Área de control 2034 E. Promedic		
Estación de Gestión Entrada	1	
CDE Casetas de aduana	3	
CDE casetas de migraciones	2	
CDE casetas IPSA	2	
CDE casetas PN	9	
ZEP	4	

SAN PANCHO CCN - NI Cargas – Resultados de la estimación de áreas de control variable - 2034 - Incremento de tiempos y demanda			
Área de control	2034 E. Promedio		
Andenes ZRD	2		
Estacionamiento ZRD	4		
ERCC	1		
Escáner	2		
ZEE	4		
Estacionamiento Encarpados	2		
Estacionamiento Retenidos	3		

Gráfico 24 SAN PANCHO CCN – NI - Cargas: Dimensionamiento estimado – 2034 con incrementos de tiempo y demanda



2.2.2 Dimensionamiento Propuesto

Con base en los resultados estimados, la tabla que sigue presenta el dimensionamiento sugerido para absorber, sin generar colas, la demanda estimada y prever una razonable área de expansión de las mismas de forma tal de poder hacer frente a variaciones ascendentes y no previstas de la demanda o cambios en las pautas operativas que implique mayor concentración horaria de los MT.

Cada línea de trabajo del Canal de Despacho Expedito (CDE) está conformado, en virtud del tiempo relativo que entrañan los controles de cada institución, por dos puestos de aduana, uno de migraciones y otro de sanidad.

La cantidad de dársenas de revisión es elevada por el criterio de adicionar al selectivo aduanero el porcentaje de intervención sanitaria total, previendo la utilización de esta

infraestructura por parte de los controles que realiza MAGFOR para del 50% de los MT de interés sanitario y por suponer que todos los despachos en el paso serán importaciones y exportaciones.

El área de expansión propuesta permite absorber incrementos conjuntos no previstos de la demanda y del tiempo adoptado para cada uno de los controles o en su defecto adecuarse anticipadamente a una demanda superior a la prevista para 2040.

El dimensionamiento de la ZEP merece un tratamiento particular. Como se señalara, las estimaciones realizadas permitirían absorber, de acuerdo a la distribución diaria adoptada, un 15% del total de MT que arriben con carga al Paso de Frontera (no habiendo registrado las respectivas declaraciones electrónicas anticipadas o con faltantes de documentación y previendo un tiempo medio de permanencia de ciento veinte (120) minutos.

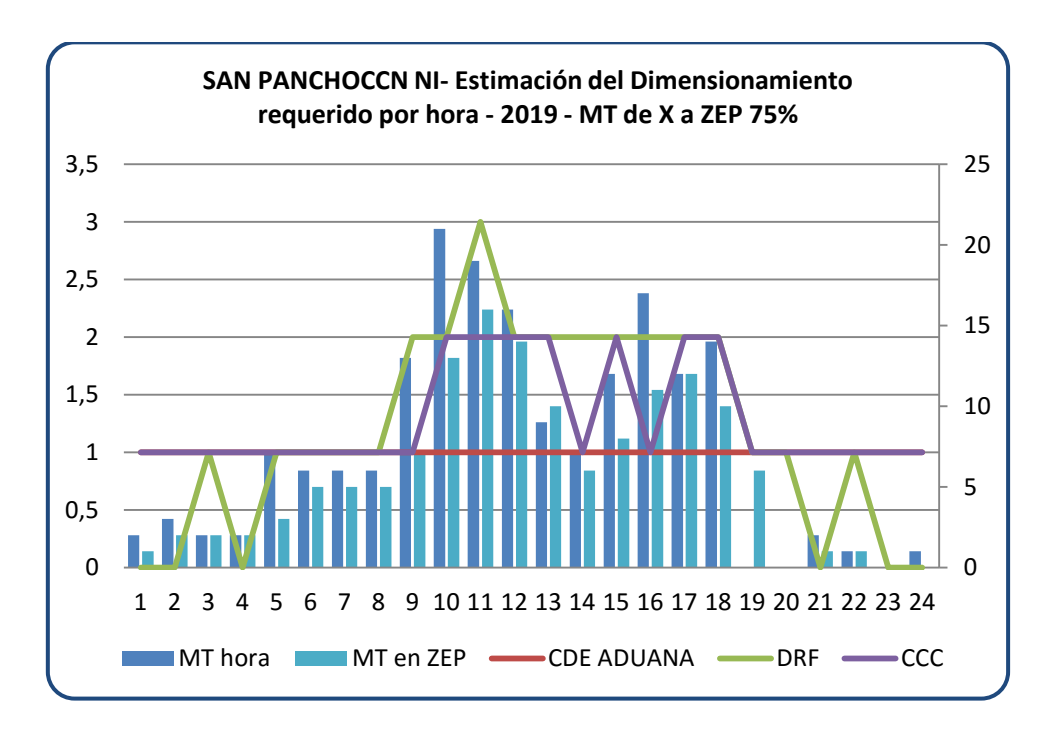
Para ello se requiere un comportamiento proactivo y disuasivo de las Aduanas nacionales para que, durante el período que medie desde el momento cero del proyecto hasta la implantación efectiva del CCI Cargas, se logre reducir en forma sustancial la cantidad de MT con declaraciones electrónicas y/o documentos faltantes o incompletos que se verifica en la actualidad para ubicarlo en la franja porcentual prevista.

El concepto que subyace, es que los Estados no deban afrontar costos de infraestructura que devienen de malas prácticas de los operadores privados y que éstos deben contribuir activamente para lograr un funcionamiento eficiente del Paso de Frontera.

No obstante, para evitar el riesgo que al inicio de la operatoria en el nuevo CCI Cargas esta área resulte insuficiente ha previsto un espacio de expansión que podrá ser utilizado si las previsiones de trámites no completos exceden las previstas. Este espacio de expansión – dada su temporalidad y a diferencia del resto –tendría un piso afirmado en vez de pavimentado.

Por ello, se ha supuesto que en el 2019 – año de entrada en operación probable de las nuevas instalaciones – la cantidad de MT sobre el total de MT de y exportación y tránsitos salientes que deben ingresar a la ZEP es del 75% (compatible con la situación actual en ambas cabeceras) y el tiempo medio de permanencia de ciento cincuenta (150) minutos. Los resultados se presentan en el gráfico siguiente.

Gráfico 25 SAN PANCHO CCN-NI Cargas: Dimensionamiento – 2019 con ingreso a ZEP del 75% de MT de X



De esta forma, entre la ZEP propiamente dicha y su área de expansión de inferior calidad constructiva se estaría en condiciones de absorber en el año 2019 hasta un 75% de MT de las exportaciones que arriben al paso sin la documentación completa.

Tabla 13 SAN PANCHO CCN - NI - Cargas Propuesta de dimensionamiento

SAN PANCHO CCN - NI Cargas – Propuesta de dimensionamiento de áreas variables					
Área de control	Propuesto	Expansión			
Estación de Gestión Entrada	1	1			
CDE Casetas de aduana	2	2			
CDE casetas de migraciones	1	1			
CDE casetas IPSA	1	1			
CDE casetas PN	9	7			
ZEP	3	2			
Andenes ZRD	2	1			
Estacionamiento ZRD	3	1			
ERCC	1	-			
Escáner	2	1			
ZEE	4	2			
Estacionamiento Encarpados	2	2			
Estacionamiento ZRE	2	1			
Estacionamiento Retenidos	3	2			

2.3 ÁREAS DE PASAJEROS

2.3.1 Estimación de puestos de trabajo y recintos de control de pasajeros

En este apartado se describen los parámetros adoptados para la modelización de las tareas de control de pasajeros y se presentan los resultados obtenidos en materia de dimensionamiento de puestos de control necesarios para el control de pasajeros.

El dimensionamiento de los puestos de control de Migraciones se realiza bajo dos variantes. La primera manteniendo la forma tradicional de ventanillas con funcionarios en cada una de ellas y la segunda la resultante de aplicar tecnología no asistida (portales automáticos) para la realización del control migratorio - con algunas excepciones - de los ciudadanos nicaragüenses.

2.3.1.1 Flujo de vehículos y pasajeros

Con base en las estimaciones disponibles para el año base la composición de los pasajeros por tipo de movilidad que en un día promedio utilizan el Paso de Frontera San Pancho (NI) – Las Tablillas (CR), en ambos sentidos de marcha, es la siguiente.

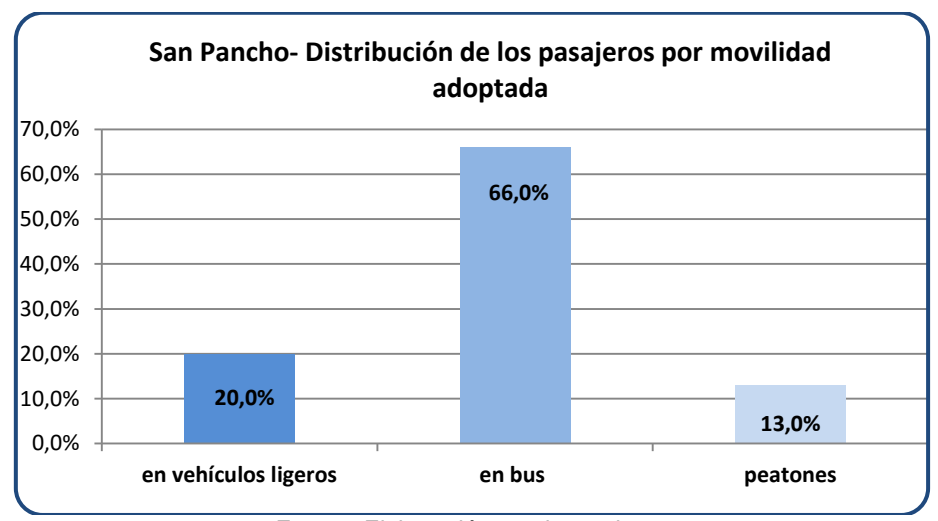


Gráfico 26 SAN PANCHO CCN NI Pasajeros - Distribución de pasajeros por movilidad

Fuente: Elaboración propia con base

A partir de datos adoptados para el año (año base), el flujo promedio diario de pasajeros por sentido a 2040 para el escenario promedio (adoptado como horizonte y escenario para el dimensionamiento) asciende a 306 pasajeros por sentido.

Dicho guarismo para el día promedio del mes pico debido a la marcada estacionalidad, asciende a 518 pasajeros en el sentido de mayor demanda.

Por su parte, la cantidad de vehículos ligeros y buses por sentido de marcha que se verificaría en 2040, alcanzaría a 15 y 6, respectivamente. Estos guarismos se incrementan a 26 vehículos ligeros y 10 buses por sentido de marcha

En la tabla siguiente se presentan el detalle de la cantidad de pasajeros por sentido adoptada y de los vehículos que demanda su movilidad, para el día promedio año y para el día promedio del mes pico de 2040.

Tabla 14 Pasajeros y Vehículos de pasajeros, pasajeros – Día promedio mes pico 2040 por sentido

SAN PANCHO CCN NI PASAJEROS - Pasajeros y vehículos de pasajeros Por sentido – Día promedio y día promedio mes pico 2040 Escenario promedio. Por sentido					
Vehículo promedio promedio Ocupación		Pasajero / día promedio diario	Pasajeros / día promedio mes pico		
Ligeros	15	26	4	60	104
Buses	6	10	35	210	350
Peatones	n/a		n/a	36	64
Total	21	36		306	518

Fuente: Elaboración propia

2.3.1.2 Distribución horaria de los flujos

.Con base a la información provista por la DGME de Nicaragua, el gráfico siguiente muestra la distribución horaria en que los pasajeros realizaron su migración obtenida del promedio de los meses de Octubre, noviembre y diciembre de 2015.

Esta distribución - por la ausencia previsible de colas debido a la cuantía del flujo migratorio - puede considerarse un adecuado indicador del arribo de los pasajeros al paso de frontera. Por ende la estacionalidad horaria para el dimensionamiento, contempla una hora pico del 10%

SAN PANCHO PASAJEROS- Estacionalidad horaria por sentido

12,0%

10,0%

8,0%

6,0%

4,0%

2,0%

0,0%

CR - NI NI - CR

Fuente: DGME - Nicaragua

2.3.1.3

Los tiempos adoptados por cada categoría son los siguientes:

Duración media de los controles

En el caso de controles migratorios, se adoptan valores verificados en la cabecera Costa Rica del Paso de Frontera de Peñas Blancas. El valor adoptado oscila en torno a 50 segundos por persona (levemente superiores a los registrados en estaciones aeroportuarias) para trámites normales.

Similar temperamento se adoptó para estimar en dos minutos el tiempo unitario del trámite aduanero del vehículo, mientras que la revisión del vehículo en el estacionamiento previo insume tres minutos en el caso de los vehículos ligeros.

Los tiempos promedio que demandan los controles de pasajeros en buses internacionales adoptados en la estimación son: Migraciones 50 segundos por pasajero; Aduana Bus 2 minutos y Control de cabina y revisión de equipaje acompañado y no acompañado 20 minutos. Las distintas instancias de control y su solapamiento parcial entregan un tiempo para el ciclo de control de aproximadamente 40 minutos por bus, compatible con la organización de los controles propuesta.

Las tareas de control del equipaje acompañado son realizadas con escáner y comienzan una vez que los pasajeros han realizado el trámite de migración, mientras que la revisión del interior del bus y el paso del equipaje de bodega por el escáner se realiza mientras los pasajeros realizan los trámites migratorios.

De decidirse por la incorporación de Portales automáticos para la migración de los ciudadanos de Nicaragua, el tiempo unitario estimado asciende a 30 segundos por pasajero.

Para simular esta situación se adopta el supuesto de que el 50% de los pasajeros que utilizan el Paso de Frontera son nicaragüenses y se desplazan sin niños (en este caso el menor y su padre o tutor deberían realizar la migración en las ventanillas habilitadas).

La síntesis de los tiempos unitarios adoptados por tipo de pasajero y vehículo, se muestra en la tabla siguiente.

Tabla 15 Tiempos medios de control

SAN PANCHO CCN NI PASAJEROS - Tiempos medios de los controles adoptado -						
I Ino de nasaiero Midraciones 1111		Aduana de vehículo	Control físico (aduana, fitosanitarios, seguridad) del vehículo	Ascenso o descenso de pasajeros ¹¹		
Viajero en automóvil	50 segundos	3 minutos ¹²	2	2 minutos		
En Buses	50 segundos	2 minutos	5	4 minutos		
Peatones	50 segundos	n/a	n/a			
Migración con Portales Automáticos	30 segundos					
Escáner de bultos por pasajero			15 segundos			

Fuente: Elaboración propia

¹²En caso de aplicar

¹¹ Incluye el desplazamiento hasta el edificio de control y viceversa

2.3.1.4 Resultados Obtenidos y dimensionamiento adoptado

Con base en las proyecciones de demanda y los supuestos adoptados se analizó la operación del funcionamiento del CCN NI SAN PACHO Pasajeros a fin de determinar el dimensionamiento de los puestos de trabajo y sitios de parqueo, necesarios para garantizar, en el día promedio del mes pico de 2040 el control de los pasajeros sin generar colas.

Dada la simetría de los flujos, el dimensionamiento de uno de los sentidos de marcha resulta aplicable al sentido de marcha contraria.

El cuadro y gráfico siguientes dan cuenta de los resultados obtenidos y el dimensionamiento adoptado en previsión de variaciones ascendentes de la demanda o estacionalidad horaria de los pasajeros para el día promedio del mes pico de 2040.

Tabla 16 SAN PANCHO CCN NI Pasajero Dimensionamiento por sentido de marcha 2040

CCN NI SAN PANCHO - Dimensionamiento requerido por sentido para demanda de día promedio mes pico 2040 - Migración convencional								
Instalación	Estimado	Adoptado	Previsión de espacio adicional					
Puestos de Migración	1	2	2 casetas					
Aduana de vehículo	1	1						
Declaraciones de menor cuantía	1	1	1 casetas					
Multas o pagos de tasas	1	1						
Escáner de bultos acompañados	1	1						
estacionamiento previo (incluye 4 buses)	5	8	2 espacios					
Estacionamiento posterior (incluye 2 buses)	3	5	2 espacios					
Ascenso y descenso de pasajeros en buses locales	1	Zona con cubierta						

Fuente: Elaboración propia

Los resultados con la incorporación de **Portales Automáticos** para la migración de pasajeros nacionales, se muestra en la siguiente tabla.

Tabla 17 SAN PANCHO CCN NI Pasajero Dimensionamiento por sentido de marcha 2040 con migración convencional y Portales Automáticos

CCN NI SAN PANCHO - Dimensionamiento requerido por sentido para demanda de día promedio mes pico 2040 con migración tradicional y portales automáticos							
Instalación	Previsión						
Puestos de Migración	1	2	1 casetas				
Portales Automáticos	1	2	1 Portal				

CCN NI SAN PANCHO - Dimensionamiento requerido por sentido para demanda de día promedio mes pico 2040 con migración tradicional y portales automáticos							
Instalación	Estimado	Adoptado	Previsión de espacio adicional				
Aduana de vehículo	1	1					
Declaraciones de menor cuantía	1	1	1 casetas				
Multas o pagos de tasas	1	1					
Escáner de bultos acompañados	1	1					
estacionamiento previo (incluye 4 buses)	5	8	2 espacios				
Estacionamiento posterior (incluye 2 buses)	3	5	2 espacios				
Ascenso y descenso de pasajeros en buses locales	1	Zona con cubierta					

CON NI CAN DANCIO. Dimensiamente remiente remiente non contide

Como se señalara, en algunas de las áreas de control se han incrementado los resultados obtenidos para hacer frente a cambios de importancia en las condiciones de la demanda (cuantía, estacionalidad) o por el grado de satisfacción contemplado para los usuarios del sistema.

Este recaudo conservador, encuentra su justificación en la significativa demanda de pasajeros que enfrenta este Paso de Frontera y en los menores costos relativos de estas instalaciones respecto al costo total del proyecto. Incluso de permitirlo las superficies disponibles sería prudente dejar áreas de reserva para las instalaciones variables

En tal sentido, y considerando la importancia que para la calidad percibida por los usuarios tiene el tiempo total de permanencia en el complejo para la realización de sus trámites de control, el dimensionamiento debe resultar suficiente para atender sin demoras en cola el máximo flujo previsto, y contemplar las contingencias que pueden devenir en desafectaciones temporarias de puestos de control por tareas de mantenimiento u otras.

Por otra parte la cuantía de los puestos variables de control migratorio en cualquiera de sus versiones, permitirá – dotando a estas instalaciones de utilización reversible – afrontar demandas extraordinarias no previstas e incluso los picos diarios extremos que se verifican en los meses de diciembre y enero.

3. ANEXOS PROYECCIONES

3.1 FLUJO DE CARGA CON ORIGEN EN NICARAGUA Y DESTINO EN COSTA RICA Y PANAMÁ

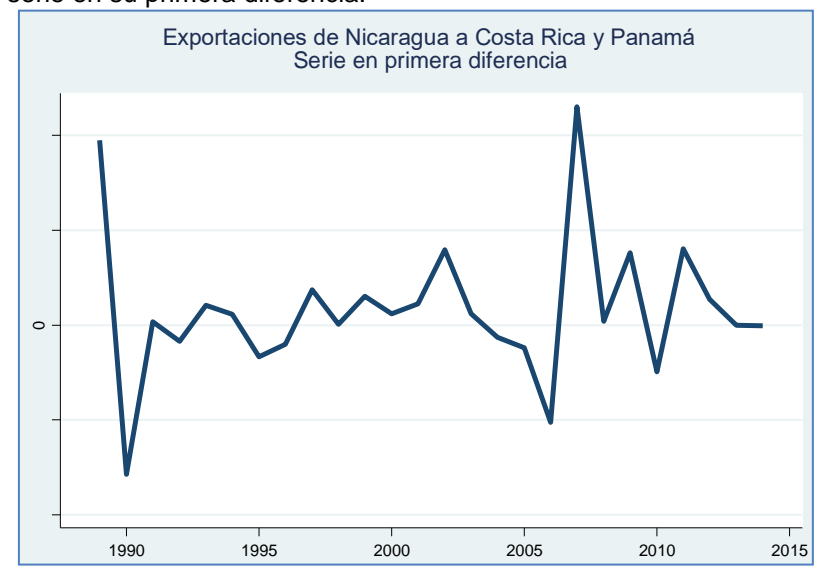
Test de Dickey – Fuller Aumentado de la serie original para determinar estacionariedad:

Dickey-Fulle	er test for uni	t root		Numb	er of obs =	= 26
			— Inte	rpolated	Dickey-Fulle:	
	Test			5% Cri	tical 10	% Critical
	Statistic	Val	ıe	Va	lue	Value
Z(t)	-0.974	-3	.743	-	2.997	-2.629
MacKinnon ap	oproximate p-va	lue for Z(t)	= 0.762	5		
D.8	Coef.	Std. Err.	t	P> t	[95% Conf.	
						Interval]
	i i					Interval]
L1 .	I	.1085719	-0.97	0.340	3298784	

Correlograma de la serie original:

					-1 0) 1	-1	0 1
LAG	AC	PAC	Q	Prob>Q	[Autocorr	relation]	[Partial	Autocor]
1	0.7818	0.8942	18.408	0.0000				ļ
2	0.7141	0.4163	34.38	0.0000				
3	0.5650	0.0093	44.795	0.0000				
4	0.4764	0.2755	52.523	0.0000				
5	0.3861	0.1704	57.827	0.0000				<u> </u>
6	0.2395	-0.1494	59.966	0.0000		_	-	
7	0.1379	0.0721	60.711	0.0000		_		
8	0.0458	0.3785	60.797	0.0000				
9	0.0300	-0.0739	60.837	0.0000				
10	-0.0229	-0.0177	60.861	0.0000				
11	-0.1216	-0.2838	61.585	0.0000				

Gráfico de la serie en su primera diferencia:

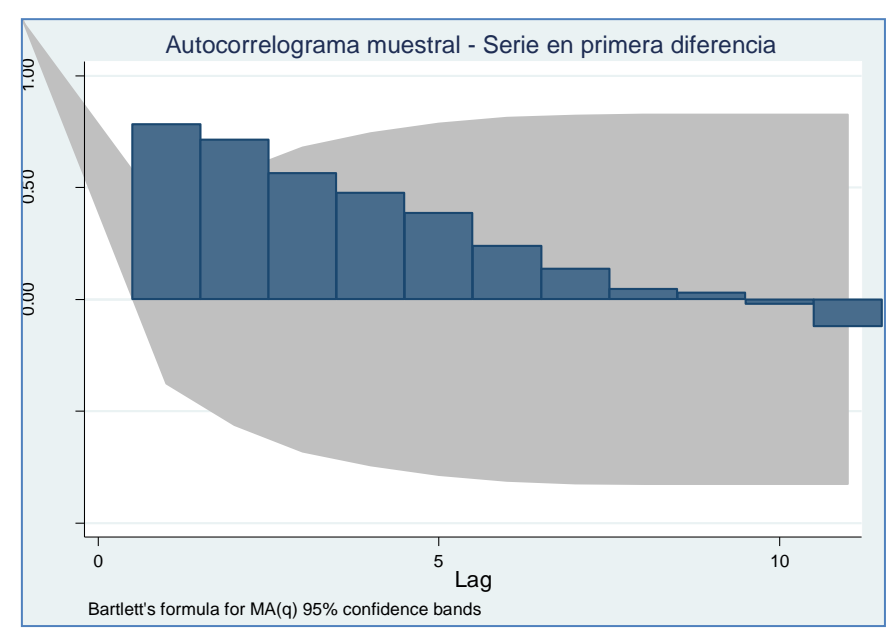


Test de Dickey – Fuller Aumentado de la serie en diferencia:

Dickey-Fuller	test for unit	root		Numb	er of obs =	25
	Test Statistic	1% Crit: Valu	ical	5% Cri	Dickey-Fuller tical 10 lue	
Z(t)	-8.460	-3	.750	-	3.000	-2.630
MacKinnon app:	roximate p-val	lue for Z(t)	= 0.000	0		
D2.a	Coef.	Std. Err.	t	P> t	[95% Conf.	Interval]
a LD.	-1.392202	.1645643	-8.46	0.000	-1.732629	-1.051774
_cons	7953.433	6468.214	1.23	0.231	-5427.087	21333.95

Correlograma de la serie en diferencia:

					-1 0	1 -1 0 1
LAG	AC	PAC	Q	Prob>Q	[Autocorrelation]	[Partial Autocor]
1	-0.3922	-0.3922	4.4798	0.0343		
2	0.0915	-0.0009	4.734	0.0938		
3	-0.2279	-0.2178	6.3786	0.0946	_	-
4	0.0895	-0.0840	6.6438	0.1560		
5	0.1093	0.1941	7.0582	0.2164		
6	-0.0640	-0.0167	7.2071	0.3021		
7	-0.1093	-0.1716	7.6649	0.3631		-
8	0.0666	0.2216	7.8443	0.4488		
9	-0.0250	0.2006	7.8711	0.5472		
10	0.1023	0.5324	8.3476	0.5949		
11	-0.0523	0.8845	8.4805	0.6697		
					·	·



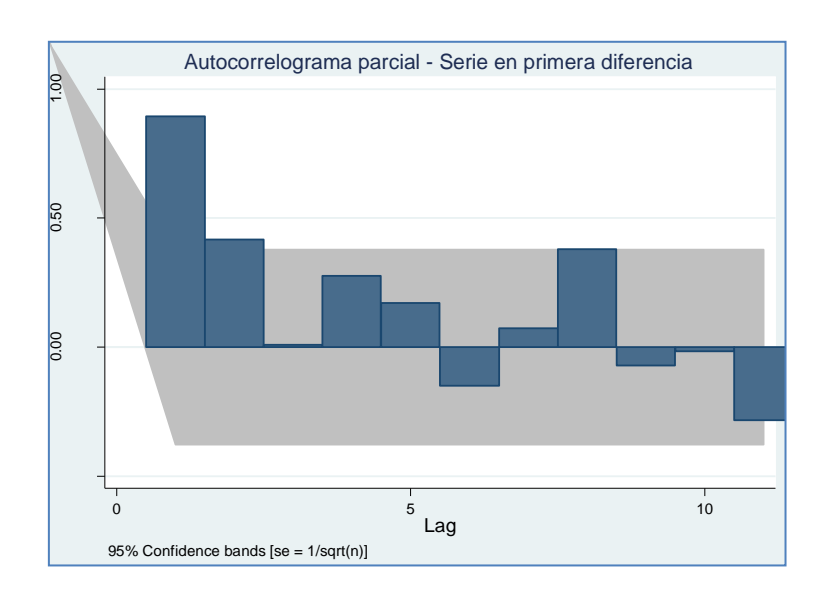
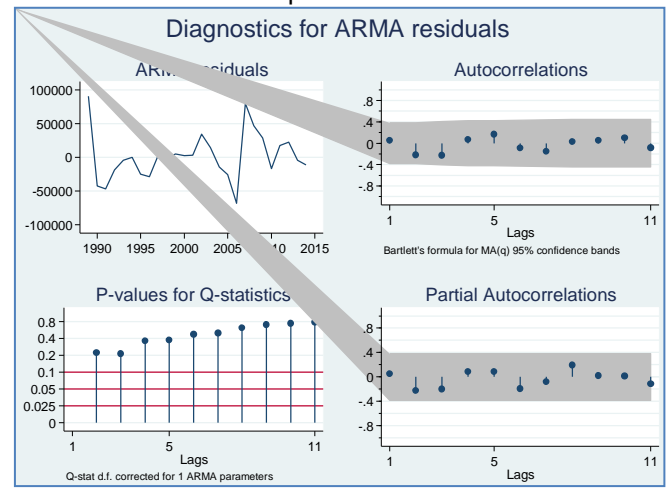
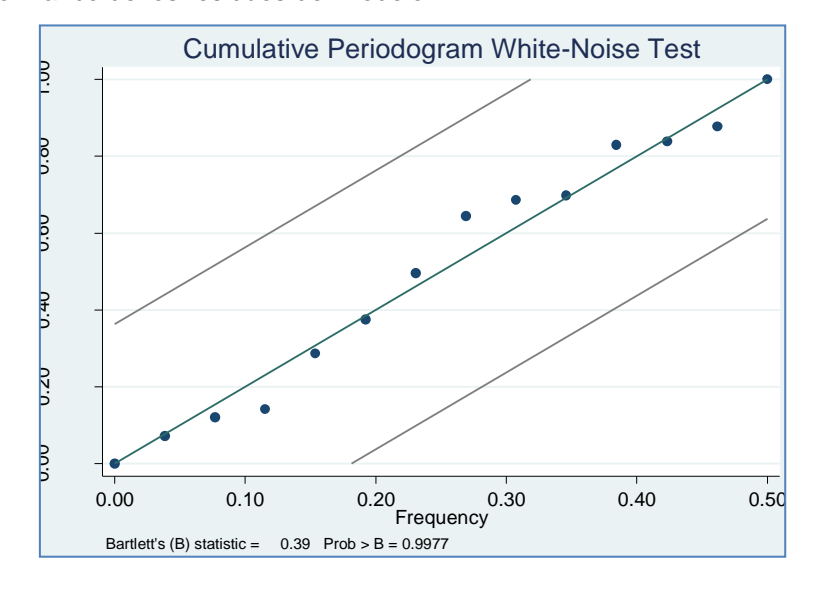


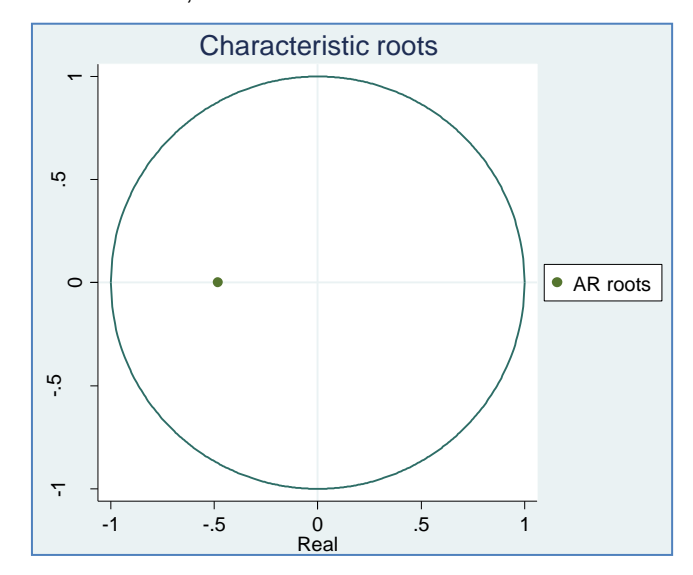
Tabla de estimaciones de los distintos modelos ARIMA analizados, incluyendo los valores de los criterios de Akaike y Schwartz:

Va	riable	a_ar~10	a_ar~01	a_ar~11	a_ar~20	a_ar~21	a_ar~12	a_ar~22
a								
	_cons	7204	7481	7380	7153	7565	7901	8052
	_	0.159	0.073	0.088	0.167	0.247	0.065	0.049
ARMA								
	ar							
	L1.	481		104	484	.427	-1.07	926
		0.000		0.812	0.003	0.455	0.000	0.103
	L2.				00943	.333		.157
					0.964	0.363		0.778
	ma							
	L1.		489	404		-1	.545	.433
			0.008	0.362		0.999	0.993	0.992
	L2.						454	567
							0.987	0.982
sigma								
	_cons	33715	33643	33626	33728	32296	33806	33818
		0.000	0.000	0.000	0.000	0.997	0.973	0.963
Statis	tics							
	aic	622	622	624	624	625	624	626
	bic	626	626	629	629	631	630	633





Portmanteau test for white	noise	Cumulative periodogram white-noise test
Portmanteau (Q) statistic	= 6.3425	Bartlett's (B) statistic = 0.3948
Prob > chi2(11)	= 0.8496	Prob > B = 0.9977



Characteristic roots of AR-polynomial						
Characteristic roots	Modulus	Period				
4809573	.480957					

3.2 FLUJO DE CARGA CON ORIGEN EN COSTA RICA Y PANAMÁ Y DESTINO EN NICARAGUA

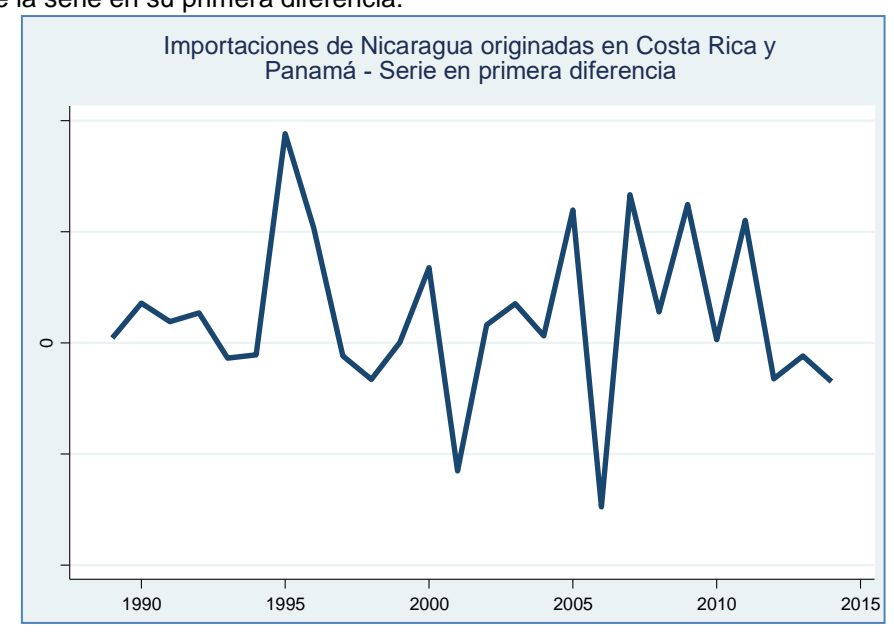
Test de Dickey – Fuller Aumentado de la serie original para determinar estacionariedad:

Dickey-Fuller	test for unit	troot		Numb	er of obs =	26
			ical	5% Cri	Dickey-Fuller tical 10 lue	% Critical
Z(t)	-1.066	-3	.743	_	2.997	-2.629
wackinnon app	roximate p-val	iue for Z(t)	= 0.728			
D.b	Coef.	Std. Err.	t	P> t	[95% Conf.	Interval]
b L1.					[95% Conf.	

Correlograma de la serie original:

					-1 0	1 -1 0
LAG	AC	PAC	Q	Prob>Q	[Autocorrelatio	n] [Partial Autocor
1	0.8532	0.9235	21.925	0.0000	<u> </u>	·
2	0.7186	0.2410	38.099	0.0000		<u> </u>
3	0.5642	-0.0807	48.485	0.0000		
4	0.4245	0.2201	54.62	0.0000		_
5	0.2935	-0.0270	57.686	0.0000		
6	0.1487	-0.1019	58.511	0.0000	 -	
7	0.0512	0.3424	58.614	0.0000		
8	0.0095	0.2087	58.617	0.0000		<u> </u>
9	0.0229	0.0374	58.64	0.0000		
10	-0.0145	0.1907	58.65	0.0000		 -
11	-0.0241	0.6052	58.678	0.0000		

Gráfico de la serie en su primera diferencia:

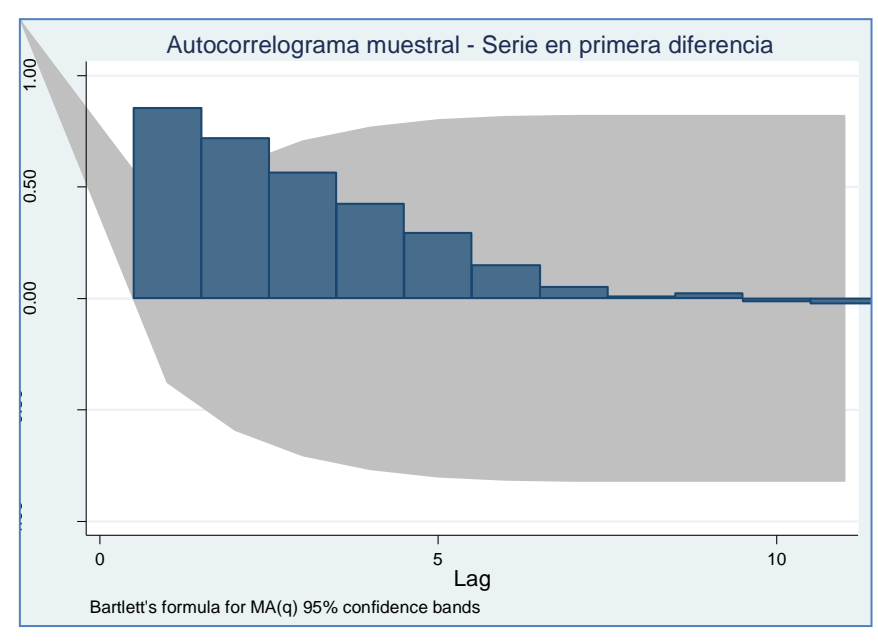


Test de Dickey – Fuller Aumentado de la serie en diferencia:

Dickey-Fuller	test for unit	Numb	er of obs =	25		
	Test Statistic			5% Cri	Dickey-Fuller tical 10 lue	% Critical Value
Z(t)	-6.319	-3	.750	-	3.000	-2.630
MacKinnon app:	roximate p-val	lue for Z(t)	= 0.000	0		
D2.b	Coef.	Std. Err.	t	P> t	[95% Conf.	Interval]
b LD.	-1.280417	.2026271	-6.32	0.000	-1.699583	861251
_cons	31489.31	15846.68	1.99	0.059	-1292.05	64270.68

Correlograma de la serie en diferencia:

					-1 0 1	1 0 1
LAG	AC	PAC	Q	Prob>Q	[Autocorrelation]	[Partial Autocor]
1	-0.2731	-0.2804	2.1711	0.1406	<u> </u>	-
2	0.1118	0.0348	2.5502	0.2794		
3	-0.2624	-0.2733	4.7299	0.1927		
4	0.1165	-0.0182	5.1787	0.2694		
5	-0.0160	0.0256	5.1876	0.3934		
6	-0.2535	-0.4044	7.5261	0.2749		
7	-0.0267	-0.2119	7.5534	0.3736		-
8	0.0340	-0.0552	7.6001	0.4735		
9	0.0406	-0.1682	7.6707	0.5676		-
10	-0.1043	-0.5341	8.1653	0.6127		
11	-0.1339	-0.8278	9.0352	0.6186	-	



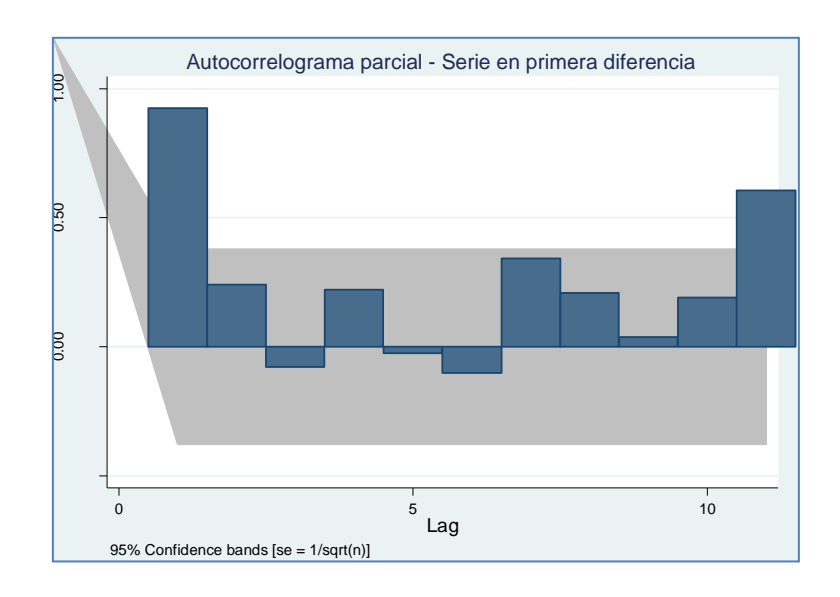
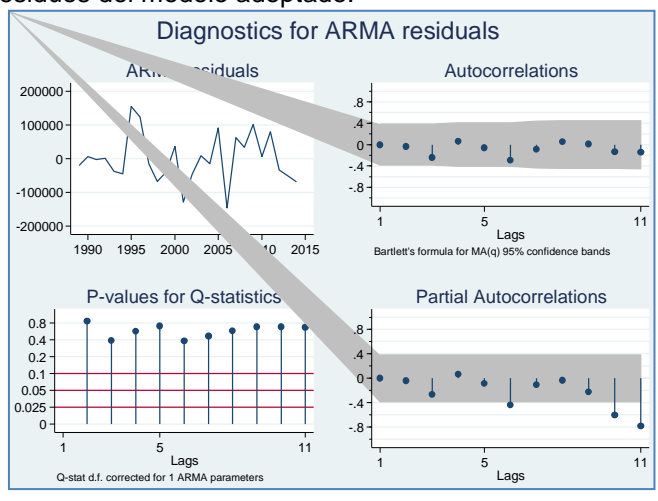
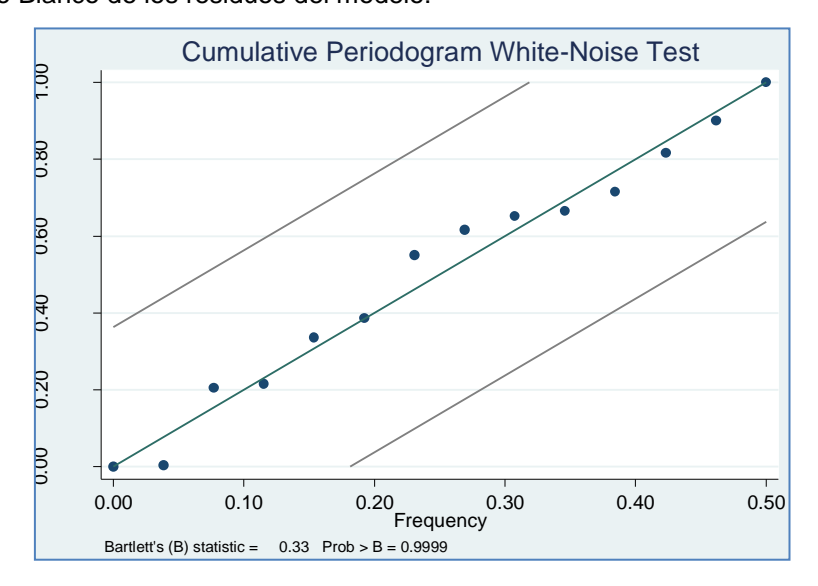


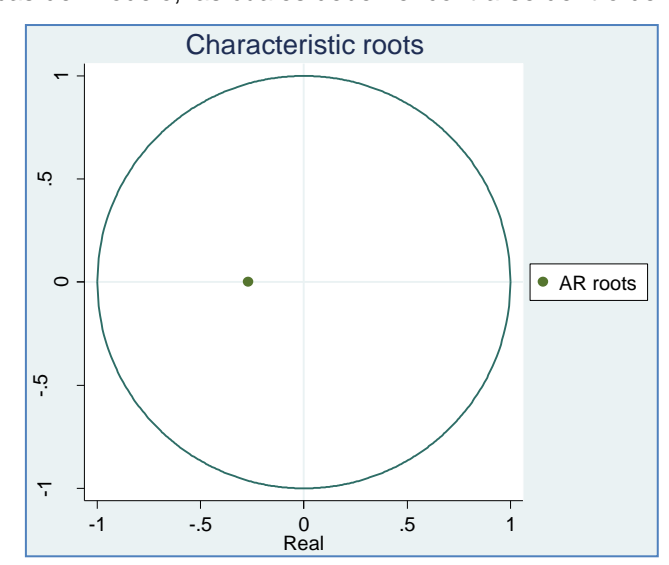
Tabla de estimaciones de los distintos modelos ARIMA analizados, incluyendo los valores de los criterios de Akaike y Schwartz:

Variable	b_ar~10	b_ar~01	b_ar~11	b_ar~20	b_ar~21	b_ar~12	b_ar~22
b							
_cons	24188	24550	23978	23995	23997	24122	24738
	0.036	0.017	0.062	0.047	0.057	0.044	0.000
ARMA							
ar							
L1.	27		675	261	766	727	154
	0.132		0.215	0.184	0.745	0.592	0.924
L2.				.0325	0451		.462
				0.902	0.957		0.296
ma							
L1.		294	.455		.53	1.55	367
		0.153	0.447		0.813	0.793	0.999
L2.						224	633
						0.707	0.998
sigma							
_cons	70392	70380	69943	70432	69913	41571	62540
	0.000	0.000	0.000	0.000	0.000	0.752	0.996
Statistics							
aic	660	660	662	662	664	664	662
bic	664	664	667	667	670	670	670





Portmanteau test	for white	noise		Cumulative periodogram white-noise test
Portmanteau (Q)	statistic	=	7.5693	Bartlett's (B) statistic = 0.3327
Prob > chi2(11)		=	0.7513	Prob > B = 0.9999



Characteristic roots of AR-polynomial							
Characteristic roots	Modulus	Period					
2704416 .270442							

3.3 FLUJO DE CARGA CON ORIGEN EN NICARAGUA Y DESTINO EN EL RESTO DEL MUNDO

Test de Dickey – Fuller Aumentado de la serie original para determinar estacionariedad:

Dickey-Fuller	test for unit	root		Numb	er of obs	= 26
	Test Statistic	1% Criti Valu	cal	-		r 0% Critical Value
Z(t)	0.996	-3.	743	-	2.997	-2.629
MacKinnon appr	oximate p-val	ue for Z(t)	= 0.994	2		
D.i	Coef.	Std. Err.	t	P> t	[95% Conf	. Interval]
i L1.	.0779922	.0783437	1.00	0.329	0837012	.2396856
_cons	3190.269	41020.45	0.08	0.939	-81471.78	87852.32

Correlograma de la serie original:

					-1	0	1 -1	0	1
LAG	AC	PAC	Q	Prob>Q	[Auto	correlation] [Par	tial Auto	cor]
1	0.7811	1.0780	18.373	0.0000		<u> </u>			
2	0.6496	0.4649	31.591	0.0000		<u> </u>			
3	0.5153	0.3628	40.252	0.0000					
4	0.4300	0.2626	46.548	0.0000		<u> </u>			
5	0.2977	0.2762	49.702	0.0000		 			
6	0.1811	-0.1306	50.925	0.0000		-		-	
7	0.1180	0.0186	51.47	0.0000					
8	0.0398	-0.0016	51.535	0.0000					
9	0.0273	0.6353	51.568	0.0000					_
10	-0.0577	-0.1167	51.721	0.0000					
11	-0.1023	0.0663	52.233	0.0000					

Gráfico de la serie en su primera diferencia:

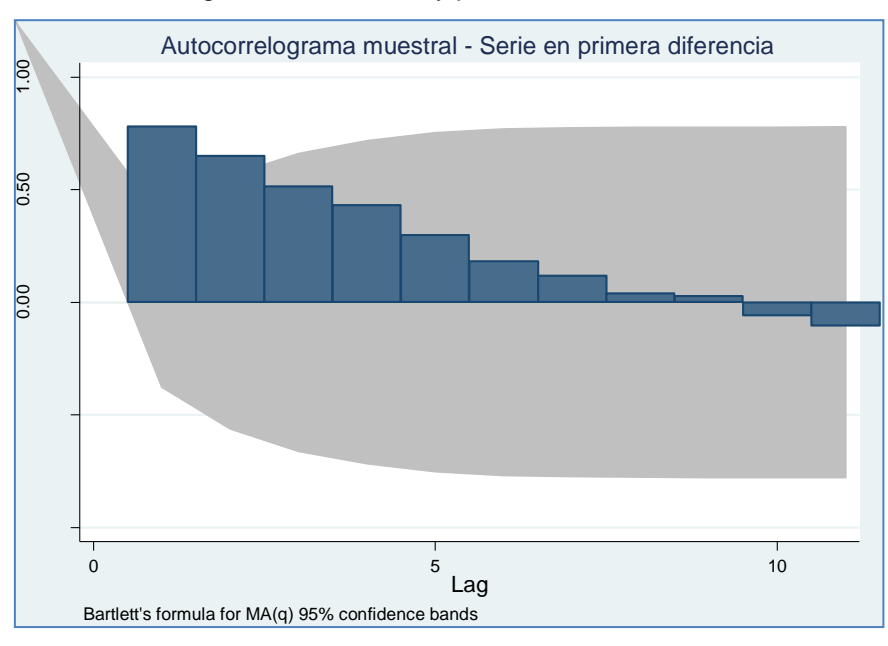


Test de Dickey – Fuller Aumentado de la serie en diferencia:

Dickey-Fuller	test for unit	troot		Numb	er of obs	= 25
			— Inte	rpolated	Dickey-Fulle	er
	Test Statistic		ical 1e		tical 1 lue	0% Critical Value
Z(t)	-6.048	-3.	.750	_	3.000	-2.630
MacKinnon app	roximate p-val	lue for Z(t)	= 0.0000	0		
D2.i	Coef.	Std. Err.	t	P> t	[95% Conf	. Interval
i LD.	-1.281735	.2119248	-6.05	0.000	-1.720135	843335

Correlograma de la serie en diferencia:

					-1 0 1	1 0 1
LAG	AC	PAC	Q	Prob>Q	[Autocorrelation]	[Partial Autocor]
1	-0.2528	-0.2817	1.8605	0.1726	<u> </u>	
2	-0.0267	-0.1237	1.8821	0.3902		
3	0.0885	0.0619	2.1302	0.5458		
4	0.0808	0.1524	2.346	0.6724		<u> </u>
5	0.1935	0.3904	3.6435	0.6018	<u> </u>	
6	-0.0978	0.1538	3.9919	0.6778		<u> </u>
7	0.0457	0.1936	4.072	0.7714		<u> </u>
8	-0.2408	-0.4331	6.4163	0.6007	4	
9	0.3673	0.5930	12.193	0.2026		
10	-0.0036	-0.0645	12.194	0.2723		
11	-0.2703	-0.3613	15.739	0.1511		



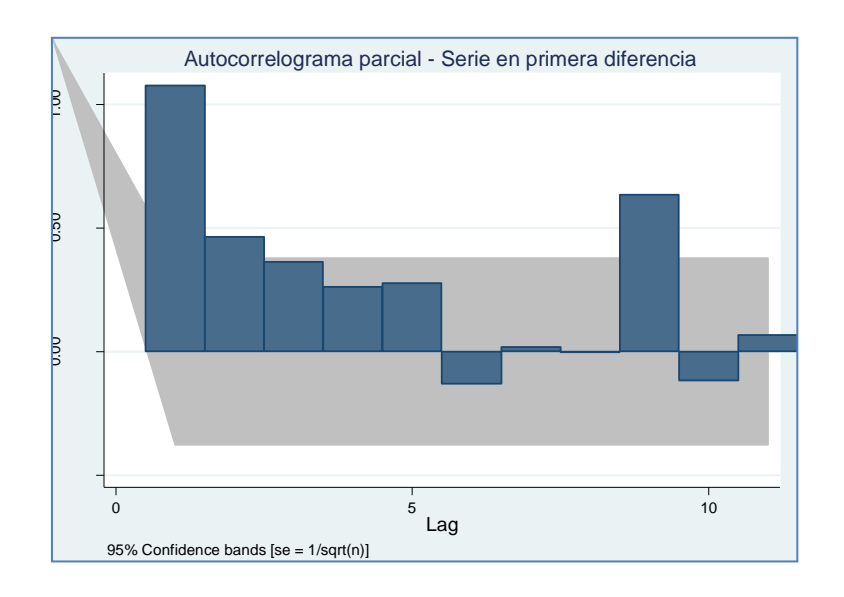
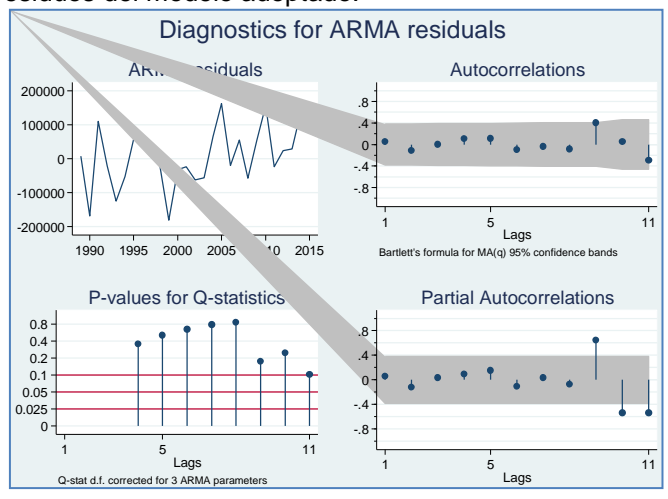
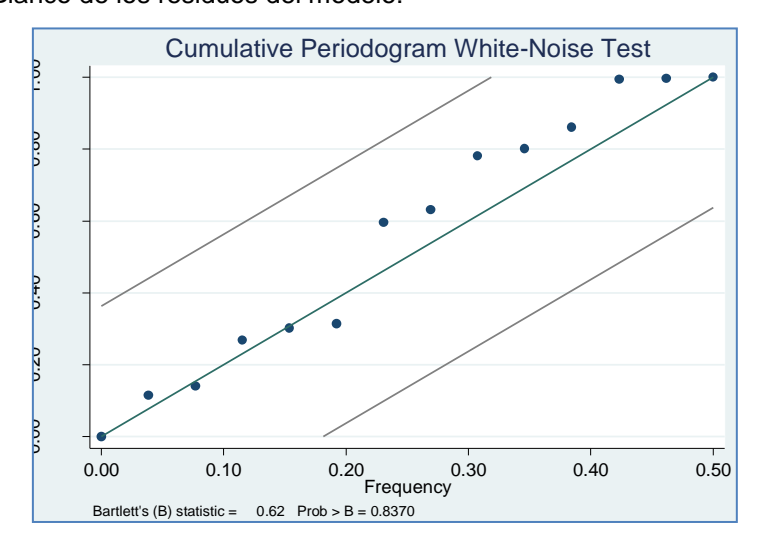


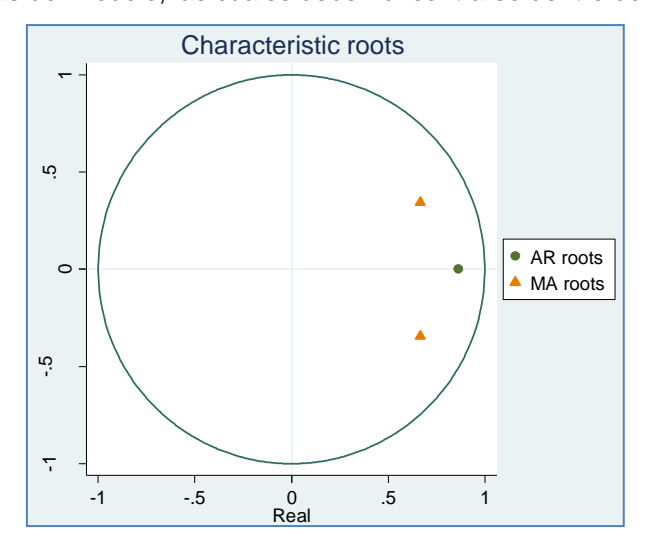
Tabla de estimaciones de los distintos modelos ARIMA analizados, incluyendo los valores de los criterios de Akaike y Schwartz:

Variable	i_ar~10	i_ar~01	i_ar~11	i_ar~20	i_ar~21	i_ar~12	i_ar~22
i							
_cons	38213	37931	37903	38015	38180	44081	42735
	0.006	0.003	0.003	0.002	0.003	0.138	0.114
ARMA							
ar							
L1.	27		0666	313	472	.861	1.3
	0.250		0.946	0.221	0.822	0.006	0.001
L2.				137	183		458
				0.592	0.692		0.329
ma							
L1.		29	235		.163	-1.33	-1.73
		0.257	0.814		0.940	0.000	0.012
L2.						.562	.959
						0.020	0.264
sigma							
_cons	89946	89564	89567	89193	89143	84835	80574
	0.000	0.000	0.000	0.000	0.000	0.000	0.011
Statistics							
aic	673	673	675	675	677	675	676
bic	677	677	680	680	683	681	683





Portmanteau test	for white	noise	Cumulative p	eriodogram whi	te-nois	e test
Portmanteau (Q)	statistic :	= 13.3150	Bartlett's	(B) statistic	=	0.6198
Prob > chi2(11)	:	0.2732	Prob > B		=	0.8370



Characteristic roots of AR-polynomial							
Characteristic roots	Modulus	Period					
.8605977	.860598						
Characteristic roots of MA-polynomial							
Characteristic roots	Characteristic roots Modulus Period						
.6656135 + .3446631 <i>i</i> .66561353446631 <i>i</i>	.749556 .749556	13.2 13.2					

3.4 FLUJO DE CARGA CON ORIGEN EN EL RESTO DEL MUNDO Y DESTINO EN NICARAGUA

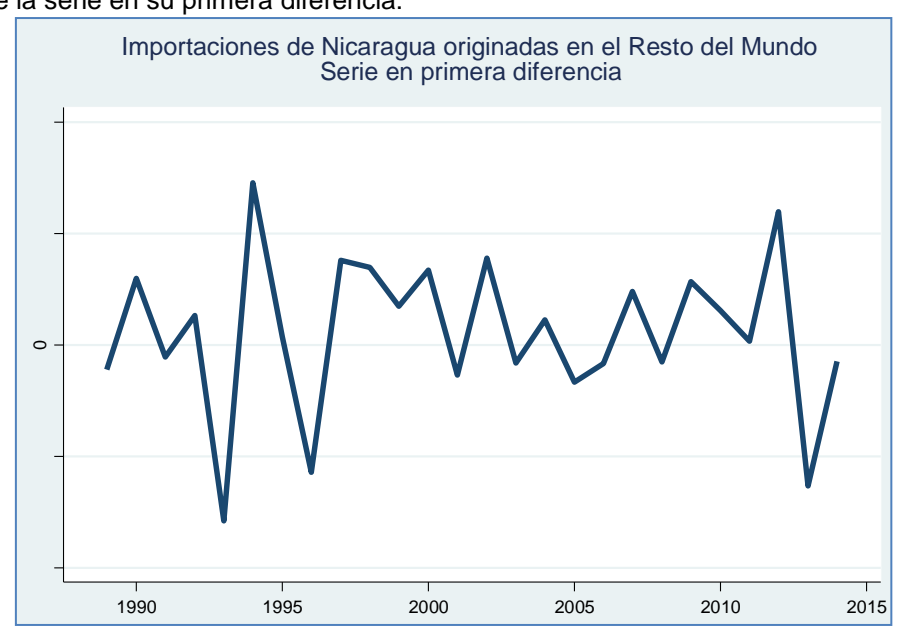
Test de Dickey – Fuller Aumentado de la serie original para determinar estacionariedad:

Dickey-Fuller	test for unit root			Numb	er of obs	= 26	
	Test Statistic	1% Crit.	ical	-	Dickey-Fulle tical 1		
Z(t)	-1.343		-3.743 -2.997		2.997	-2.629	
MacKinnon app	roximate p-val	lue for Z(t)	= 0.609	4			
D.j	Coef.	Std. Err.	t	P> t	[95% Conf	. Interval]	
j L1.	1373416	.1022921	-1.34	0.192	3484621	.0737788	
_cons	295891.1	191175.5	1.55	0.135	-98675.67	690457.8	

Correlograma de la serie original:

					-1	0	1	-1	0	1
LAG	AC	PAC	Q	Prob>Q	[Auto	correlat	cion]	[Parti	al Auto	cor]
1	0.8232	0.8627	20.41	0.0000		<u> </u>			-	
2	0.7336	0.3606	37.266	0.0000		<u> </u>	_			
3	0.6275	0.3237	50.113	0.0000			_		<u> </u>	
4	0.5094	-0.0582	58.947	0.0000			-			
5	0.4197	0.0194	65.216	0.0000		<u> </u>				
6	0.2627	-0.1629	67.788	0.0000					_	
7	0.2169	0.3213	69.631	0.0000		-				
8	0.1711	0.3523	70.837	0.0000		-				
9	0.0585	0.0127	70.986	0.0000		İ				
10	-0.0120	0.1351	70.992	0.0000					-	
11	-0.1351	-0.6579	71.885	0.0000		4				

Gráfico de la serie en su primera diferencia:

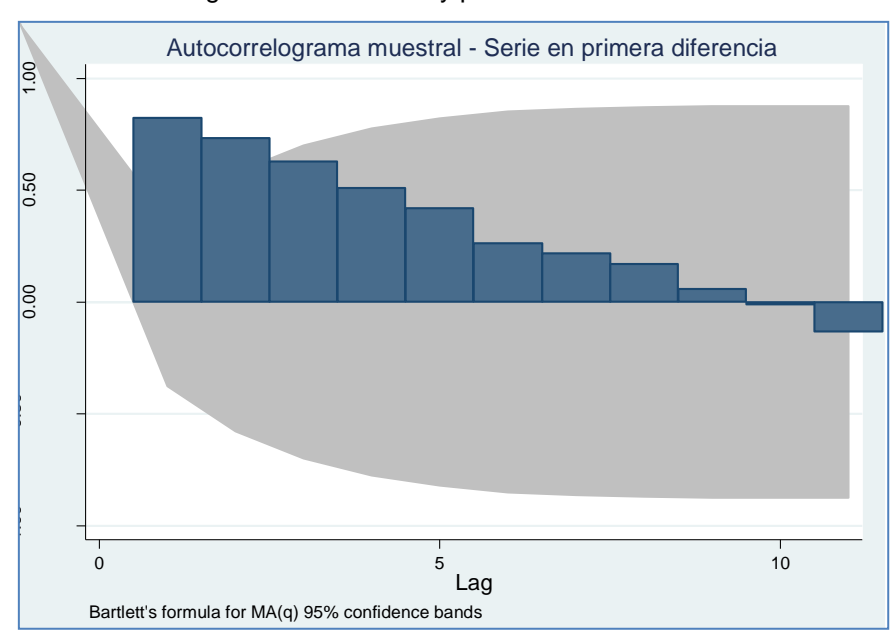


Test de Dickey – Fuller Aumentado de la serie en diferencia:

Dickey-Fuller	test for unit	Numb	er of obs =	= 25		
	Test Statistic	1% Crit	ical	5% Cri	Dickey-Fulle tical 10 lue	
Z(t)	-7.467	-3	.750		3.000	-2.630
MacKinnon app	roximate p-va	lue for Z(t)	= 0.000	0		
D2.j	Coef.	Std. Err.	t	P> t	[95% Conf.	. Interval]
j LD.	-1.414139	.1893729	-7.47	0.000	-1.805886	-1.022391
_cons	87783.85	67280.54	1.30	0.205	-51396.54	226964.2

Correlograma de la serie en diferencia:

					-1 0 1	-1 0 1
LAG	AC	PAC	Q	Prob>Q	[Autocorrelation]	[Partial Autocor]
1	-0.4115	-0.4141	4.9315	0.0264		
2	-0.0472	-0.3571	4.9991	0.0821		
3	0.1419	0.0205	5.6367	0.1307	<u> </u>	
4	-0.1016	-0.0509	5.9786	0.2008		
5	0.0655	0.0778	6.1271	0.2940		
6	-0.2126	-0.3636	7.7726	0.2552	_	
7	-0.0326	-0.3781	7.8132	0.3494		
8	0.1448	-0.0803	8.6615	0.3717	<u> </u>	
9	-0.1171	-0.2453	9.2491	0.4146		4
10	0.2245	0.7872	11.543	0.3168	F	
11	-0.2401	1.2346	14.342	0.2146	\dashv	<u> </u>



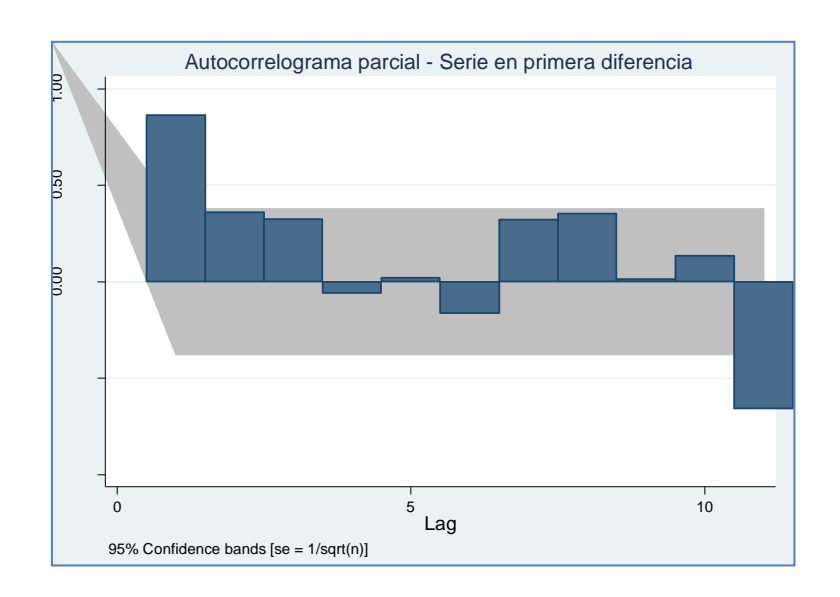
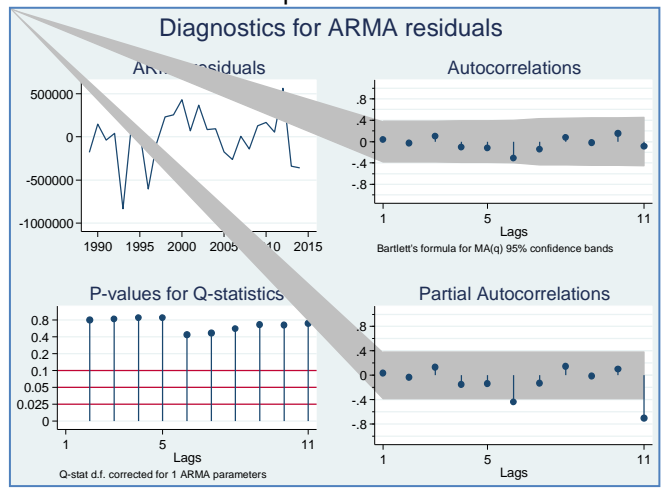
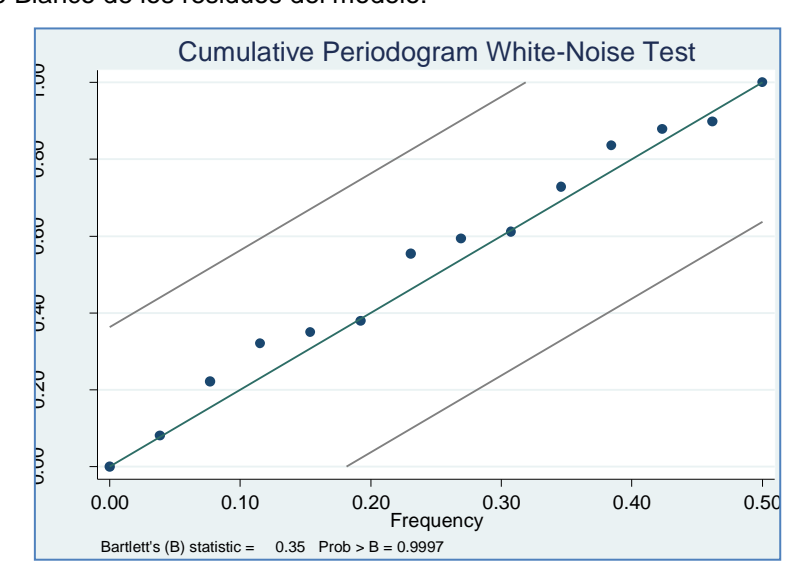


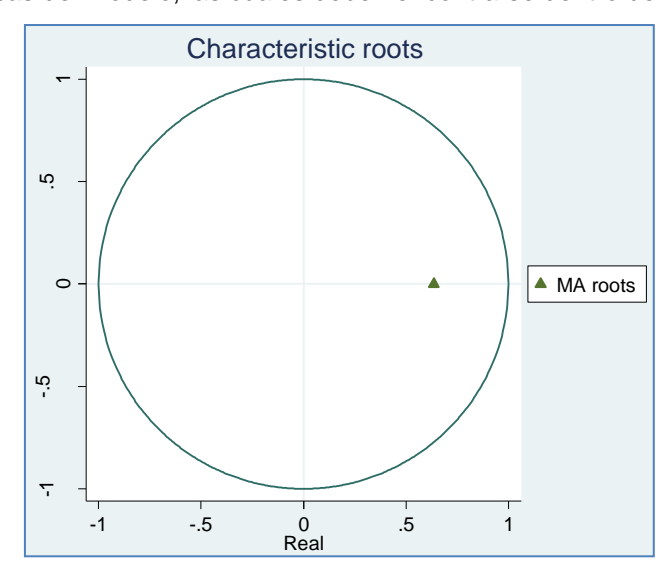
Tabla de estimaciones de los distintos modelos ARIMA analizados, incluyendo los valores de los criterios de Akaike y Schwartz:

Va	riable	j_ar~10	j_ar~01	j_ar~11	j_ar~20	j_ar~21	j_ar~12	j_ar~22
j								
	_cons	59154	68349	75906	64761	64482	74842	74754
		0.259	0.012	0.000	0.099	0.134	0.000	0.000
ARMA								
	ar							
	L1.	402		.272	552	628	.546	.448
		0.028		0.497	0.016	0.351	0.616	0.869
	L2.				332	363		.0478
					0.173	0.204		0.961
	ma							
	L1.		635	-1		.0835	-1.28	-1.19
			0.012	0.999		0.905	0.999	0.996
	L2.						.279	.19
							1.000	0.997
sigma								
	_cons	3.1e+05	3.0e+05	2.7e+05	3.0e+05	3.0e+05	2.7e+05	2.7e+05
		0.000	0.000	0.998	0.000	0.000	0.999	0.993
Statis	tics							
	aic	738	736	736	738	740	738	739
	bic	742	740	741	743	746	744	747





Portmanteau test for w	hite noise	Cumulative periodogram white-noise test
Portmanteau (Q) stati	stic = 7.33	Bartlett's (B) statistic = 0.3474
Prob > chi2(11)	= 0.7	Prob > B = 0.9997



Characteristic roots of MA-polynomial							
Characteristic roots	Modulus	Period					
.6354642	.635464						

3.5 FLUJO DE PASAJEROS

Test de Dickey – Fuller Aumentado de la serie original para determinar estacionariedad:

ickey-Fuller	test for unit	test for unit root			er of obs =	1
			—— Inte	rpolated	Dickey-Fuller	
	Test Statistic	1% Crit Val			tical 10 lue	% Critica Value
Z(t)	-0.691	-3	.750	-	3.000	-2.63
	proximate p-val	101 1(0)	0.013	_		
D.paxa	- T				[95% Conf.	Interval
	- T				[95% Conf.	Interval
D.paxa	Coef.	Std. Err.	t	P> t	[95% Conf.	

Correlograma de la serie original:

					-1 0	1 -	1 0	1
LAG	AC	PAC	Q	Prob>Q	[Autocorrel	ation]	[Partial Au	itocor]
1	0.7653	0.8869	10.092	0.0015				
2	0.7053		15.24	0.0015				
3	0.3161	0.1722	17.275	0.0006			_	
4	0.1012	0.0192	17.504	0.0015				
5	-0.0121	0.2561	17.508	0.0036				-

Gráfico de la serie en su primera diferencia:



Correlograma de la serie en diferencia:

LAG	AC	PAC	Q		-1 0 [Autocorrelation	1 -1 (n] [Partial) 1 Autocor]
1	-0.0506	-0.0508	.04154	0.8385			
2	-0.2540	-0.2639	1.1856	0.5528			
3	-0.0837	-0.1504	1.3224	0.7238			
4	-0.2078	-0.3552	2.258	0.6884	_		

Test de Dickey – Fuller Aumentado de la serie en diferencia:

Dickey-Fuller	test for unit	root		Numb	er of obs =	12
	Test Statistic			5% Cri	Dickey-Fuller tical 10 lue	
Z(t)	-3.347	-3	.750	-	3.000	-2.630
MacKinnon app:	roximate p-val	ue for Z(t)	= 0.0129	9		
D2.paxa	Coef.	Std. Err.	t	P> t	[95% Conf.	Interval]
paxa LD.	-1.05084	.3139762	-3.35	0.007	-1.750423	3512577
_cons	3064.041	2904.463	1.05	0.316	-3407.505	9535.587

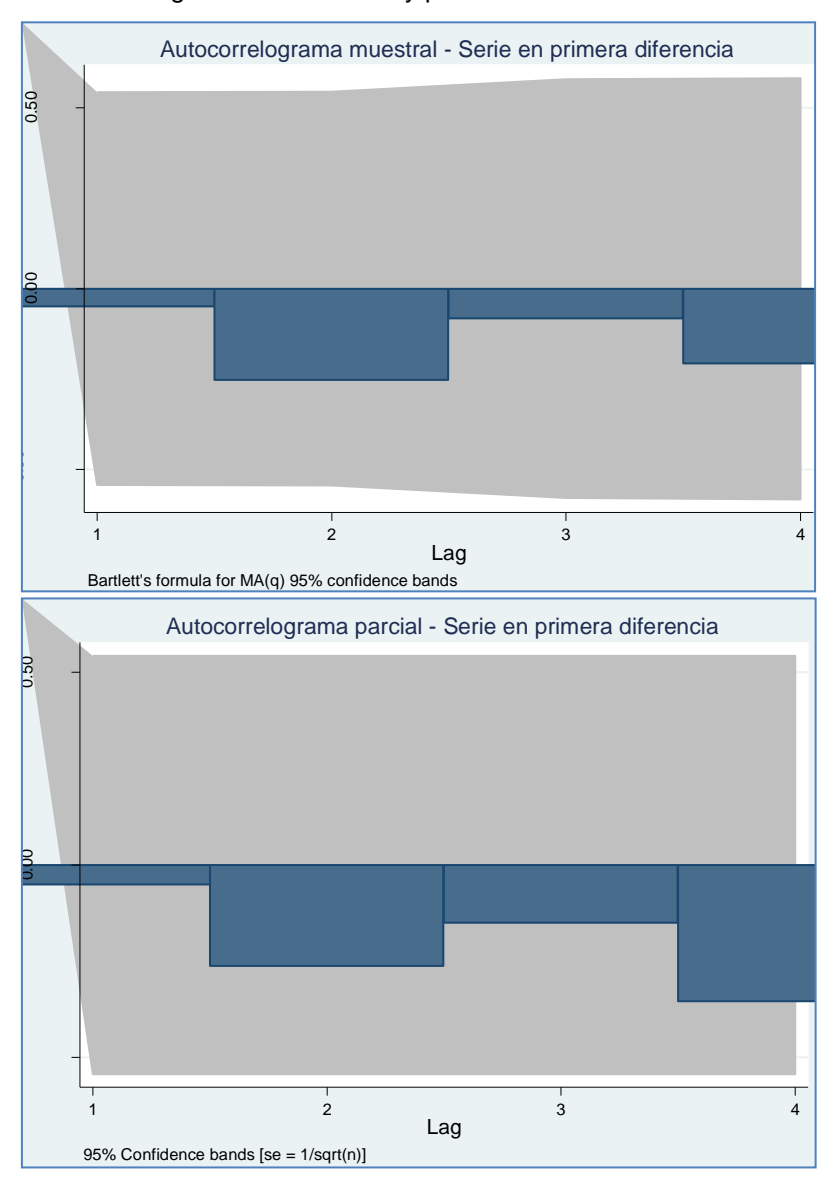
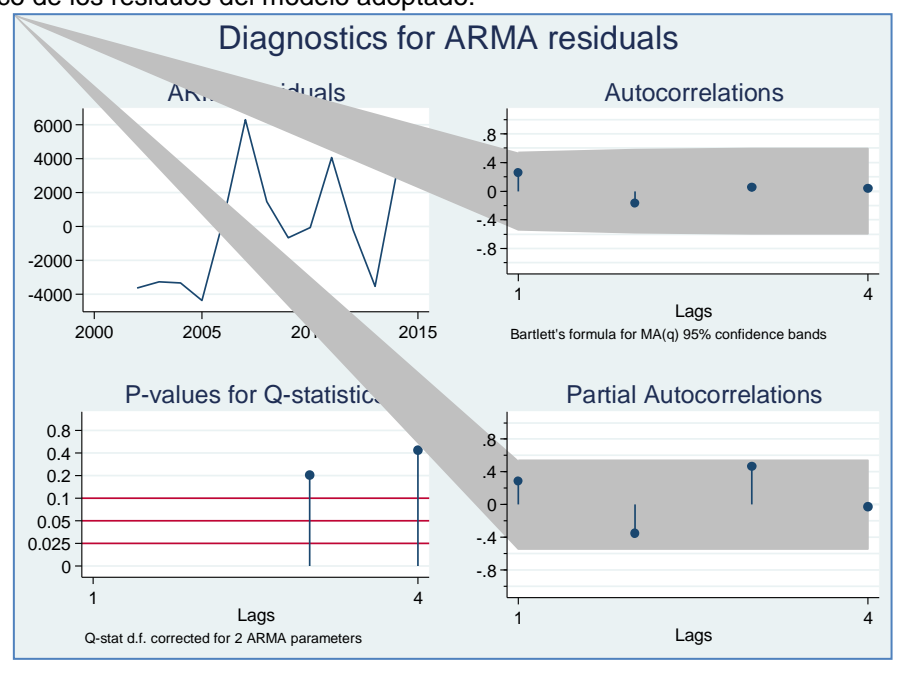
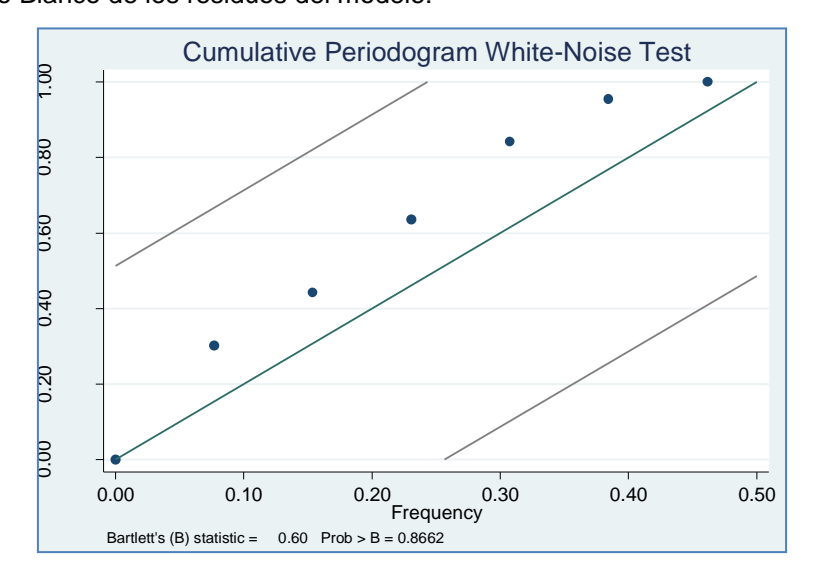


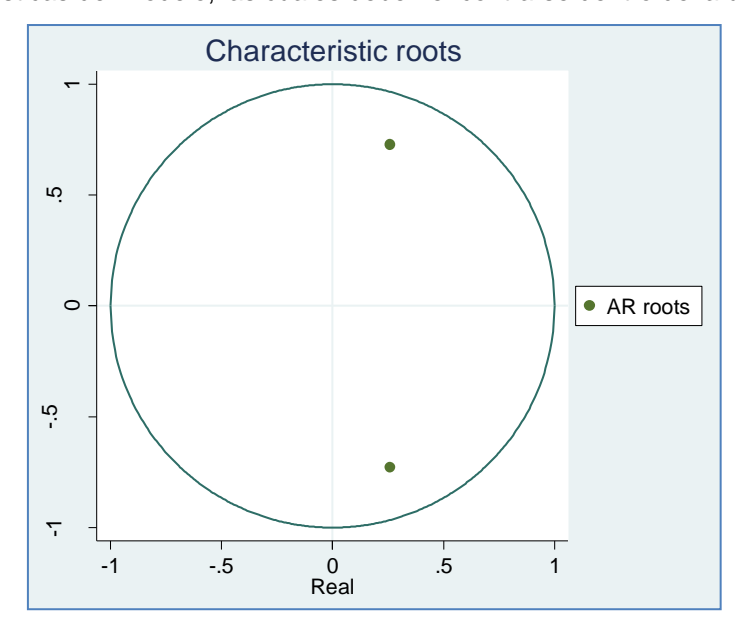
Tabla de estimaciones de los distintos modelos ARIMA analizados, incluyendo los valores de los criterios de Akaike y Schwartz:

Variable	SERI~10	SERI~01	SERI~11	SERI~20	SERI~21	SERI~12	SERI~22
paxa							
d1							
D1.	-8561	-9441	-9392	-9130	-9446	-9703	-9555
	0.078	0.000	0.000	0.000	0.000	0.000	0.000
d2							
D1.	15406	12558	12487	12581	12035	12667	12209
	0.140	0.000	0.000	0.005	0.000	0.000	0.000
_cons	2527	2695	2704	3003	3133	3015	3333
_	0.271	0.277	0.340	0.006	0.115	0.001	0.000
ARMA							
ar							
L1.	.298		.0709	.52	.258	.556	.71
	0.433		0.906	0.204	0.453	0.425	0.287
L2.				597	628		515
				0.123	0.278		0.420
ma							
L1.		1	1		1	2.2e-06	2.9e-05
		0.196	1.000		1.000	1.000	1.000
L2.						-1	-1
						0.194	0.369
sigma							
_cons	3800	2877	2856	3111	2161	2554	2111
	0.001		1.000	0.003	1.000		
Statistics							
aic	261	255	259	259	255	257	256
bic	264	257	262	262	259	260	260





Portmanteau test for white noise		Cumulative periodogram white-noise test		
Portmanteau (Q) statistic	= 1.6604	Bartlett's (B	3) statistic =	0.5985
Prob > chi2(4)	= 0.7979	Prob > B	=	0.8662



Characteristic roots of AR-polynomial				
Characteristic roots	Modulus	Period		
.2602257 + .7275307 <i>i</i> .26022577275307 <i>i</i>	.77267 .77267	5.12 5.12		